

# ELMA - poznámky z přednášek

Komplilováno: 9. března 2014

## Slova úvodem      NEPROPADEJTE PANICE

Jako první bych podotkl, že moje poznámky jsou psány naprosto seriózně a není sebe-menší důvod se u nich smát!

Pro co nejlepší představu se budu snažit situace co nejlépe popsat. Ve většině kapitol už obrázky jsou, i když nejsou kdovíjaké kvality, ale pořád lepší, než drátem (nekonečným s proudem  $I$  a magnetickou indukcí  $B$ ) do oka.

Kdyby to náhodou četl někdo jiný než já (což jako že asi jo), tak se omlouvám za případné chyby (které tu s nejvyšší pravděpodobností ještě jsou). Můžete mi napsat na (sv\_thomasos@centrum.cz) a třeba je opravím. Můžete mi posílat i jiné věcné připomínky. Vzhledem k tomu, že já a hlavní korektorka už máme zkoušku za sebou, tak změny z mojí iniciativy už moc neočekávám. To však nemění nic na tom, že mi může poslat nějakou připomínu někdo další.

Co se týče číslování kapitol, tak se skript nedržím, čísluji si to, jak se to hodí. Jsou to poznámky z přednášek, ne ze skript a koneckonců jsem skripta neotevřel skoro vůbec.

Jo a jinak to, že jsem sepsal takhle hezky svoje poznámky a dostal jsem A, nemusí nutně znamenat, že tomu rozumím.

Vězte, že až se někdy octnete na pustém ostrově<sup>1</sup>, tak se vám to zcela určitě bude hodit (hlavně výroba elektriny s použitím cívky a magnetického pole Země, apod.).

„Není to chaos. Chaos má řád.“

## Alternativní literatura

Štoll: Elektřina a magnetismus

Parsl: Elektřina a magnetismus

Feynmanovy přednášky

Web aldebaran

<http://aldebaran.cz/~bren/elmag/>

<http://aldebaran.cz/>

[MEF - Multimediální Encyklopédie Fyziky](#)

---

<sup>1</sup>Těžko říct, jak Chadzi definuje pustý ostrov...

# Obsah

<b>1 Matematický aparát</b>	<b>4</b>
1.1 Derivace a integrace . . . . .	4
1.2 Skalární a vektorové pole . . . . .	4
1.3 Tok vektorového pole . . . . .	5
1.4 Gaussova věta o divergenci . . . . .	6
1.5 Stokesova věta o rotaci . . . . .	7
1.6 Kombinace gradientu, divergence a rotace . . . . .	9
1.7 Taylorův rozvoj . . . . .	10
<b>2 Speciální teorie relativity</b>	<b>12</b>
2.1 Lorentzovy transformace v jednom směru . . . . .	13
2.1.1 Dilatace času . . . . .	16
2.1.2 Kontrakce délek . . . . .	17
2.1.3 Skládání rychlostí . . . . .	17
2.2 Lorenzovy transformace obecně v časoprostoru . . . . .	18
2.3 Něco o vlnách, Dopplerův jev . . . . .	19
2.4 Další invariantní čtyřvektory . . . . .	21
2.5 Disperzní relace . . . . .	22
2.6 Dynamika ve speciální teorii relativity . . . . .	22
2.6.1 Hybnost . . . . .	22
2.6.2 Kinetická energie . . . . .	23
<b>3 Obecná teorie relativity</b>	<b>27</b>
<b>4 Elektrostatika</b>	<b>28</b>
4.1 Elektrický náboj . . . . .	28
4.2 Coulombův zákon . . . . .	28
4.3 Elektrostatická energie . . . . .	29
4.3.1 Potenciál v okolí nabité kulové plochy . . . . .	29
4.3.2 Hypotetický poloměr elektronu . . . . .	30
4.4 Elektrostatické pole . . . . .	30
4.5 Gaussův zákon elektrostatický . . . . .	30
4.6 Energie elektrostatického pole . . . . .	33
4.7 Polarizace aneb dielektrikum v elektrostatickém poli . . . . .	34
4.7.1 Dipól . . . . .	35
4.7.2 Dipólové momenty atomů . . . . .	36
4.7.3 Objemově rozložený dipólový moment . . . . .	37
4.8 Vodič v elektrostatickém poli . . . . .	39
4.9 Elektrostatické zobrazení . . . . .	40
4.10 Kondenzátor . . . . .	42
4.11 Elektrostatické pole v dielektriku . . . . .	44

<b>5 Stacionární elektrické pole</b>	<b>45</b>
5.1 Elektrický proud . . . . .	45
5.1.1 Druhy proudů . . . . .	45
5.1.2 Uzavřená plocha a smyčka . . . . .	46
5.2 Ohmův zákon . . . . .	46
5.3 Fotonka . . . . .	47
5.4 Elektromotorické napětí . . . . .	47
5.5 Kirhoffova pravidla . . . . .	48
5.6 Klasická teorie vodivosti . . . . .	48
<b>6 Vznik magnetického pole</b>	<b>50</b>
6.1 Pohyb nabité částice v okolí vodiče s proudem . . . . .	50
6.2 Vzájemné působení nábojů . . . . .	51
6.3 Biotův-Savartův zákon . . . . .	53
6.4 Magnetické pole v okolí nekonečného drátu s proudem . . . . .	54
6.5 Magnetické pole v okolí nekonečné desky s proudem . . . . .	54
6.6 Něco, co bych asi označil jako pohybující se kondenzátor . . . . .	55
6.7 Invariantní veličiny . . . . .	56
6.8 Vzájemné působení dvou vodičů s proudem . . . . .	56
6.9 Ampérův zákon . . . . .	56
6.10 Závit v okolí cívky s proudem . . . . .	57
6.11 Vektorový potenciál magnetického pole . . . . .	58
6.12 Magnetický dipólový moment . . . . .	60
6.13 Homogenní magnetické pole . . . . .	61
6.14 Vektor magnetizace . . . . .	61
6.15 Pohyb nabité částice v magnetickém poli . . . . .	62
6.16 Kvazistacionární pole . . . . .	62
6.17 RLC obvody, impedance, přechodové jevy... . . . . .	63

# 1 Matematický aparát

Určitě bych doporučil se podívat na komplexní čísla, budou se hodit.

## 1.1 Derivace a integrace

**Derivace** je zvláštní případ limity. Udává směrnici funkce.

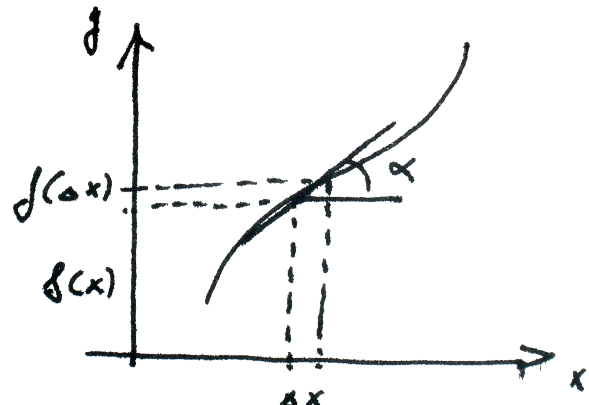
$$\frac{df(x)}{dx} = \lim_{\Delta x \rightarrow 0} \frac{f(x + \Delta x) - f(x)}{\Delta x} = \tan \alpha$$

**Integrace** je opačná operace k derivaci. Určuje obsah plochy pod křivkou.

$$S = \lim_{\Delta x \rightarrow 0} \sum_{i=1}^n f(x_i) \Delta x = \int_A^B f(x) dx$$

Střední hodnota integrálu

$$\int_a^b f(x) dx = \overline{f(x)} (b-a) \quad (1)$$



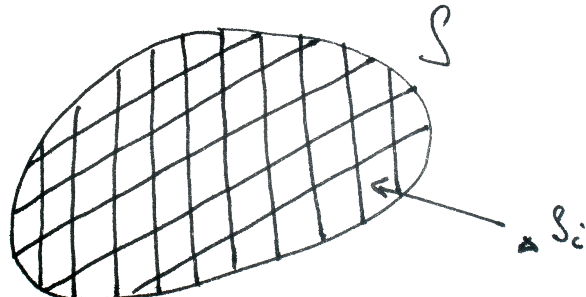
## 1.2 Skalární a vektorové pole

**Intenzita vektorového pole** v každém bodě vektorového prostoru:

$$\vec{E} = \frac{\vec{F}}{m}$$

Např. proud vody v řečišti

**Skalární pole** - v každém bodě pole je skalár (nějaká číselná hodnota). Skalární pole lze přirovnat k číselnému tělesu. Lze tedy použít toto pole k přidání jedné dimenze k prostoru, když budeme uvažovat hodnotu jako onu dimenzi.



$$\lim_{\Delta S \rightarrow 0} \sum_i f_i \Delta S_i = \int f dS = V$$

$$\sum_i S_i = \int_S dS = S$$

**Parciální derivace** - derivace ve směru, jsou závislé na zvolené soustavě souřadnic. Derivaci ve směru  $x$  značíme takto

$$\begin{aligned} \frac{\partial f(x; y)}{\partial x} &= \lim_{\Delta x \rightarrow 0} \frac{f(x + \Delta x; y) - f(x; y)}{\Delta x} \\ \left( \frac{\partial f(\vec{r})}{\partial s} \right)_{\Delta \vec{r}} &= \lim_{\Delta r \rightarrow 0} \frac{f(\vec{r} + \Delta \vec{r}) - f(\vec{r})}{\Delta r} = \lim_{\Delta x; \Delta y \rightarrow 0} \frac{f(x + \Delta x; y + \Delta y) - f(x; y)}{\Delta r} = \\ &= \lim_{\Delta x; \Delta y \rightarrow 0} \frac{f(x + \Delta x; y + \Delta y) - f(x; y + \Delta y) + f(x; y + \Delta y) - f(x; y)}{\Delta r} = \\ &= \lim_{\Delta x; \Delta y \rightarrow 0} \left[ \frac{f(x + \Delta x; y + \Delta y) - f(x; y + \Delta y)}{\Delta r} + \frac{f(x; y + \Delta y) - f(x; y)}{\Delta r} \right] = \\ &= \lim_{\Delta x; \Delta y \rightarrow 0} \left[ \frac{f(x + \Delta x; y + \Delta y) - f(x; y + \Delta y)}{\Delta x} \frac{\Delta x}{\Delta r} + \frac{f(x; y + \Delta y) - f(x; y)}{\Delta y} \frac{\Delta y}{\Delta r} \right] = \\ &= \frac{\partial f(x; y)}{\partial x} \frac{\Delta x}{\Delta r} + \frac{\partial f(x; y)}{\partial y} \frac{\Delta y}{\Delta r} = \left| \frac{\Delta \vec{r}}{\Delta r} = \left( \frac{\Delta x}{\Delta r}; \frac{\Delta y}{\Delta r} \right) \right| = \left( \frac{\partial f(x; y)}{\partial x}; \frac{\partial f(x; y)}{\partial y} \right) \cdot \vec{e}_r \end{aligned}$$

**Gradient** je diferenciální operátor působící na skalární pole grad:  $f \rightarrow \vec{F}$  a udává směr a velikost růstu funkce v daném bodě. Gradient označujeme symbolem  $\nabla$  (nabla). Nabla je vektor

$$\left( \frac{\partial}{\partial x}; \frac{\partial}{\partial y} \right)$$

$$\text{grad } f = \nabla f = \left( \frac{\partial f}{\partial x}; \frac{\partial f}{\partial y} \right)$$

### 1.3 Tok vektorového pole

- tok vektorů plochou

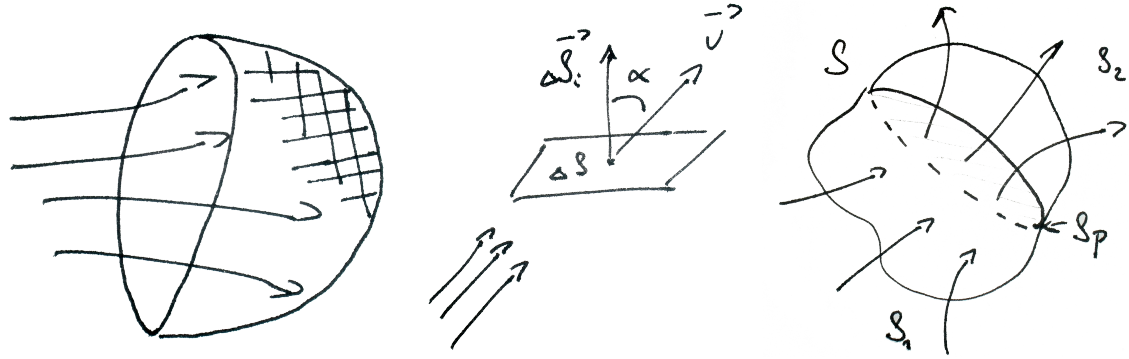
Voda  $\leftrightarrow$  rychlostní pole = množství vody za čas

Rozdělme si plochu na nekonečné malé plošky, pak

$$v \Delta S \cos \alpha = \Delta \Phi$$

kde  $\alpha$  je úhel, který svírá normála k ploše se směrem proudění

$$\Phi = \lim_{\Delta S \rightarrow 0} \sum_{oka} \vec{v} \cdot \Delta \vec{S} = \int_S \vec{v} \cdot d\vec{S} = \int_S v(\vec{r}) \cos \alpha dS$$



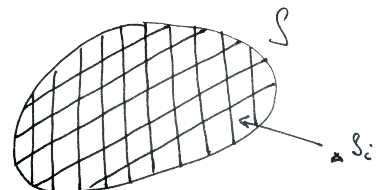
$$S = \sum \Delta S \neq \sum \Delta \vec{S}$$

**Uzavřená plocha** (nemá hranici) - u nestlačitelné kapaliny  $\Phi = 0$ , při zahřívání (změna objemu)  $\Phi \neq 0$ . Lze se dohodnout na orientaci. Směr, daný polopřímkou začínající na ploše protínající plochu  $(2n+1)$ -krát je záporný a  $2n$ -krát je kladný ( $n \in \mathbb{Z}$ ), takže  $\int_{\text{koule}} d\vec{S} = 0$ . Uvažujme tedy uzavřenou plochu a rozdělme si ji příčkou o ploše  $S_p$  na plochy  $S_1$  a  $S_2$ . Získáme tak dvě uzavřené plochy  $(S_1 + S_p)$  a  $(S_2 + S_p)$ .

$$\begin{aligned} \Phi &= \lim_{\forall \Delta S \rightarrow 0} \sum_{\Delta S} F \Delta S = \lim_{\substack{\Delta S \rightarrow 0 \\ \sum \Delta S = S}} \left( \sum_{\Delta S \in S_1} \vec{F} \Delta \vec{S} + \sum_{\Delta S \in S_2} \vec{F} \Delta \vec{S} \right) + \lim_{\substack{\Delta S \rightarrow 0 \\ \sum \Delta S = S_p}} \sum_{\Delta S \in S_p} \vec{F} \Delta \vec{S} - \\ &\quad - \lim_{\substack{\Delta S \rightarrow 0 \\ \sum \Delta S = S_p}} \sum_{\Delta S \in S_p} \vec{F} \Delta \vec{S} = \lim_{\sum \Delta S = S_1 + S_p} \sum_{\Delta S \in S_1 + S_p} \vec{F} \Delta \vec{S} + \lim_{\sum \Delta S = S_2 + S_p} \sum_{\Delta S \in S_2 + S_p} \vec{F} \Delta \vec{S} \end{aligned}$$

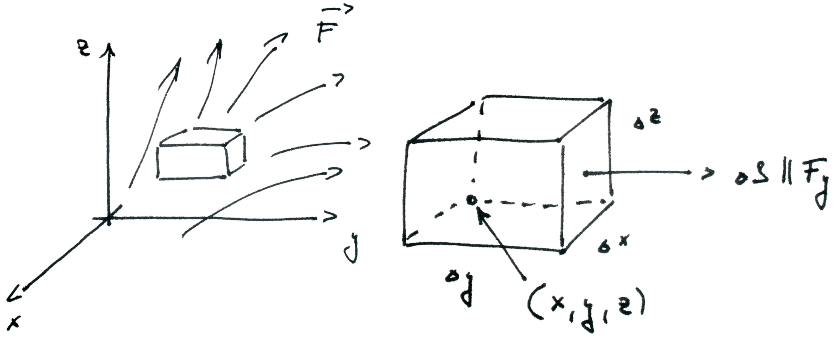
## 1.4 Gausova věta o divergenci

$$\begin{aligned} \oint_S \vec{F} d\vec{S} &= \oint_{S'} \vec{F} d\vec{S} + \oint_{S''} \vec{F} d\vec{S} = \Phi \\ \Phi &= \oint_S \vec{F} d\vec{S} = \sum_{\forall S_i} \oint_{S_i} \vec{F} d\vec{S} = \sum_{\forall S_i} \frac{\oint_{S_i} F dS}{V_i} V_i = * \\ S_i \rightarrow 0 &\Rightarrow V_i \rightarrow 0 \end{aligned}$$



**Divergence** je diferenciální operátor působící na vektorové pole  $\text{div}: \vec{F} \rightarrow f$  a určuje, kolik z vektorového pole proteče uzavřenou plochou. Označujeme opět symbolem  $\nabla$  (nabla) a jeho působení se dá vyjádřit jako skalární součin dvou vektorů.

$$\text{div } \vec{F} (\vec{r}) \stackrel{\text{def}}{=} \lim_{S \rightarrow 0} \frac{\oint_S \vec{F} \cdot d\vec{S}}{V}$$



$$* = \lim_{\substack{\Delta S_i \rightarrow 0 \\ \sum \Delta V_i = V}} \sum_i \left( \frac{\oint_{S_i} \vec{F} dS}{V_i} \right) V_i = \int_V \operatorname{div} \vec{F}(\vec{r}) dV$$

$$\Phi_x \approx F_x \left( x + \Delta x; y + \frac{\Delta y}{2}; z + \frac{\Delta z}{2} \right) \Delta y \Delta z - F_x \left( x; y + \frac{\Delta y}{2}; z + \frac{\Delta z}{2} \right) \Delta y \Delta z$$

$$\Phi_y \approx F_y \left( x + \frac{\Delta x}{2}; y + \Delta y; z + \frac{\Delta z}{2} \right) \Delta x \Delta z - F_y \left( x + \frac{\Delta x}{2}; y; z + \frac{\Delta z}{2} \right) \Delta x \Delta z$$

$$\Phi_z \approx F_z \left( x + \frac{\Delta x}{2}; y + \frac{\Delta y}{2}; z + \Delta z \right) \Delta x \Delta y - F_z \left( x + \frac{\Delta x}{2}; y + \frac{\Delta y}{2}; z \right) \Delta x \Delta y$$

$$\Phi = \Phi_x + \Phi_y + \Phi_z$$

$$\operatorname{div} \vec{F} = \lim_{\Delta x; \Delta y; \Delta z \rightarrow 0} \frac{\Phi}{V} = \lim_{\Delta x; \Delta y; \Delta z \rightarrow 0} \frac{\Phi_x + \Phi_y + \Phi_z}{\Delta x \Delta y \Delta z} = \frac{\partial F_x}{\partial x} + \frac{\partial F_y}{\partial y} + \frac{\partial F_z}{\partial z} = \nabla \cdot \vec{F}$$

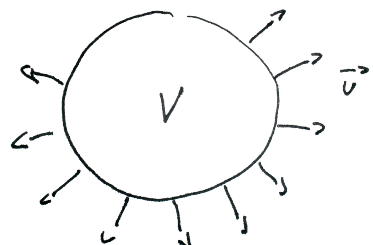
Příkladem, kdy  $\Phi \neq 0$  může být například (pokud opomeneme možnosti „pramenění“ z jiné dimenze) zahřívaná voda.

$$V = V_0(1 + \gamma \Delta T) = \frac{4}{3}\pi R^3$$

$$\Delta t \Phi = 4\pi v R^2 \Delta t = \Delta V = \frac{4}{3}\pi R^3 k \gamma \Delta t$$

$$\operatorname{div} \vec{v} = \frac{\Phi}{V} = \gamma k$$

$$\Delta V = V_0 \gamma \Delta T$$



Ukázkou využití v praxi jsou následující příklady

$$\operatorname{div} \vec{B} = 0 \quad \text{magnetické pole nevzniká ani nezaniká}$$

$$\operatorname{div} \vec{E} = \frac{\rho}{\epsilon_0} \quad \text{elektrické pole vzniká v okolí náboje}$$

## 1.5 Stokesova věta o rotaci

**Cirkulace vektorového pole** - práce vykonaná polem.  
Vemme si uzavřenou křivku  $c$ . Pak je cirkulace

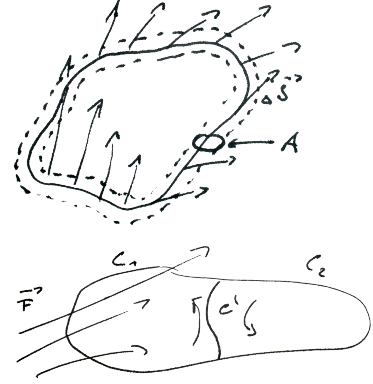
$$\Gamma = \oint_c \vec{F} \cdot d\vec{s}$$

$$\Gamma_p = \sum_i \rho A \vec{v}_i \Delta \vec{s}_i$$

kde  $A$  je průřez a  $\vec{s}_i$  vektor dráhy uražené polem

$$p = \sum \Delta p = \rho A \lim_{\Delta S_i \rightarrow 0} \sum_i \vec{F}_i \Delta \vec{s}_i = \rho A \Gamma$$

$$\Gamma = \lim_{\substack{\Delta s_i \rightarrow 0 \\ \sum_i \Delta s_i = s}} \sum_i \vec{F}_i d\vec{s} = \oint_c \vec{F} \cdot d\vec{s}$$



Křivku si opět rozdělíme obdobně, jako u divergence

$$\Gamma = \oint_c \vec{F} \cdot d\vec{s} = \oint_{c_1} \vec{F} \cdot d\vec{s} + \oint_{c_2} \vec{F} \cdot d\vec{s} + \oint_{c'} \vec{F} \cdot d\vec{s} - \oint_{c'} \vec{F} \cdot d\vec{s} = \oint_{c_1 + c'} \vec{F} \cdot d\vec{s} + \oint_{c_2 - c'} \vec{F} \cdot d\vec{s}$$

Každá ze vzniklých křivek lze opět rozdělit až  $dS \rightarrow 0$

$$\Gamma = \sum_i \Gamma_i = \frac{\sum_i \oint_{c_i} \vec{F} d\vec{s}}{S_i} S_i = \text{rot } \vec{F} S_i$$

$$\text{rot } \vec{F} = \lim_{\substack{c \rightarrow 0 \\ s \rightarrow 0}} \left( \frac{\oint_c \vec{F} d\vec{s}}{S} \right)_{max} \vec{e}_{\perp}$$

$$\Gamma = \lim_{\substack{S_i \rightarrow 0 \\ N \rightarrow +\infty \\ \sum_i S_i = S}} \sum_{i=1}^N \frac{\oint_{c_i} \vec{F} d\vec{s}}{S_i} S_i = \lim_{\substack{S_i \rightarrow 0 \\ N \rightarrow +\infty \\ \sum_i S_i = S}} \sum_{i=1}^N \text{rot } \vec{F} S_i$$

$$\oint_c \vec{F} d\vec{s} = \int_S \text{rot } \vec{F} d\vec{S}$$

Což je konečná podoba Stokesovy věty o rotaci

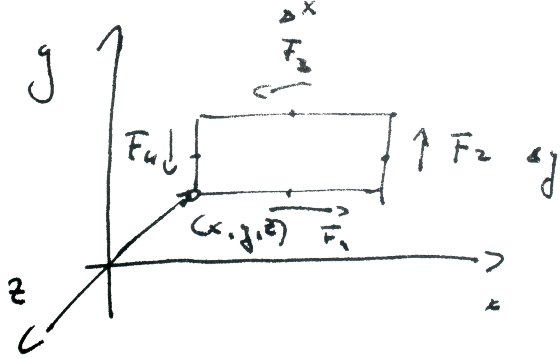
Zase možné použítí kouká z magnetického a elektrického pole:

$$\text{rot } \vec{E} = - \frac{\partial B}{\partial t}$$

$$\text{rot } \vec{B} = \mu_0 \vec{j} + \frac{1}{c^2} \frac{\partial E}{\partial t}$$

Z těchto rovnic se dá později odvodit vlnová rovnice, jejíž řešením je  $E_z(x \pm ct)$

$$\frac{\partial^2 E_z}{\partial x^2} = \frac{1}{c^2} \frac{\partial^2 E_z}{\partial t^2}$$



$$\begin{aligned}\Gamma &= F_x \left( x + \frac{\Delta x}{2}; y; z \right) \Delta x + F_y \left( x + \Delta x; y + \frac{\Delta y}{2}; z \right) \Delta y - F_x \left( x + \frac{\Delta x}{2}; y + \Delta y; z \right) \Delta x - \\ &\quad - F_y \left( x; y + \frac{\Delta y}{2}; z \right) \Delta y \\ (\text{rot } \vec{F})_z &= \lim_{\Delta x; \Delta y \rightarrow 0} \frac{\Gamma}{\Delta x \Delta y} = \frac{F_y \left( x + \Delta x; y + \frac{\Delta y}{2}; z \right) - F_y \left( x; y + \frac{\Delta y}{2}; z \right)}{\Delta x} + \\ &\quad + \frac{F_x \left( x + \frac{\Delta x}{2}; y; z \right) - F_x \left( x + \frac{\Delta x}{2}; y + \Delta y; z \right)}{\Delta y} = \left( \frac{\partial F_y}{\partial x} - \frac{\partial F_x}{\partial y} \right) \\ \text{rot } \vec{F} &= \left( \frac{\partial F_z}{\partial y} - \frac{\partial F_y}{\partial z}, \frac{\partial F_x}{\partial z} - \frac{\partial F_z}{\partial x}, \frac{\partial F_y}{\partial x} - \frac{\partial F_x}{\partial y} \right) = \begin{vmatrix} i & j & k \\ \frac{\partial}{\partial x} & \frac{\partial}{\partial y} & \frac{\partial}{\partial z} \\ F_x & F_y & F_z \end{vmatrix} \\ (\text{rot } \vec{F})_i &= \varepsilon_{ijk} \frac{\partial}{\partial x_j} A_k\end{aligned}$$

## 1.6 Kombinace gradientu, divergence a rotace

Má cenu zmíňovat jen ty kombinace, které dávají smysl. Vychází se tedy z toho, co na co působí a co plive. Pro některé případy si zavedeme některé vztahy: Antisymetrický tenzor  $A_{ji} = -A_{ij}$ ; symetrický tenzor  $S_{ji} = S_{ij}$

$$A_{ji} S_{ji} = A_{em} S_{em} = A_{ij} S_{ij} = -A_{ij} S_{ij} = 0$$

$$\delta_{ij} = 1 \Leftrightarrow i = j \quad \delta_{ij} = 0 \Leftrightarrow i \neq j$$

$$\varepsilon_{ijk} = -\varepsilon_{ikj} = \varepsilon_{kij} = -\varepsilon_{kji} = -\varepsilon_{jik} = \varepsilon_{jki} = 1 \Leftrightarrow i \neq j \vee j \neq k \vee i \neq k$$

$$\varepsilon_{ijk} = 0 \Leftrightarrow i = j \vee j = k \vee i = k$$

$$(\vec{a} \times \vec{b})_i = \varepsilon_{ijk} a_j b_k$$

$$\varepsilon_{ijk}\varepsilon_{ilm} = \delta_{jl}\delta_{km} - \delta_{jm}\delta_{kl}$$

$$\begin{aligned} \operatorname{div} \operatorname{rot} \vec{F} &= 0 \\ \operatorname{div} \operatorname{rot} \vec{F} &= \frac{\partial^2 F_z}{\partial x \partial y} - \frac{\partial^2 F_y}{\partial x \partial z} + \frac{\partial^2 F_x}{\partial y \partial z} - \frac{\partial^2 F_z}{\partial x \partial y} + \frac{\partial^2 F_y}{\partial x \partial z} - \frac{\partial^2 F_x}{\partial y \partial z} = 0 \end{aligned}$$

$$\begin{aligned} \operatorname{rot} \operatorname{grad} f &= 0 \\ (\operatorname{rot} \operatorname{grad} f)_i &= \varepsilon_{ijk} \frac{\partial}{\partial x_j} (\operatorname{grad} f)_k = \varepsilon_{ijk} \frac{\partial}{\partial x_j} \frac{\partial}{\partial x_k} f = A_{ij} S_{ij} f = 0 \end{aligned}$$

$$\begin{aligned} (\operatorname{rot} \operatorname{rot} \vec{F})_i &= \varepsilon_{ijk} \frac{\partial}{\partial x_j} (\operatorname{rot} \vec{F})_k = \varepsilon_{ijk} \frac{\partial}{\partial x_j} \varepsilon_{klm} \frac{\partial}{\partial x_l} F_m = \varepsilon_{kij} \varepsilon_{klm} \frac{\partial}{\partial x_l} \frac{\partial}{\partial x_j} F_m = \\ &= (\delta_{il} \delta_{jm} - \delta_{im} \delta_{jl}) \frac{\partial}{\partial x_l} \frac{\partial}{\partial x_j} F_m = \frac{\partial}{\partial x_i} \frac{\partial}{\partial x_j} F_j - \frac{\partial}{\partial x_l} \frac{\partial}{\partial x_l} F_i = \\ &= \frac{\partial}{\partial x_i} \left( \frac{\partial A_j}{\partial x_j} \right) - \left( \frac{\partial^2}{\partial x_l \partial x_l} \right) A_i = (\operatorname{grad} \operatorname{div} \vec{F})_i - \nabla^2 A_i \\ \operatorname{rot} \operatorname{rot} \vec{F} &= \operatorname{grad} \operatorname{div} \vec{F} - \nabla^2 \vec{A} \end{aligned}$$

$$\begin{aligned} \oint_{\partial \vec{S}} \vec{F} d\vec{s} &= \int_{\vec{S}} \operatorname{rot} \vec{F} d\vec{S} \\ A \text{ (práce)} &= \int_1^2 \vec{F} d\vec{s} = \oint \vec{F} d\vec{s} = 0 \Leftrightarrow \vec{F} = \operatorname{grad} W_p \text{ (potenc. en.)} \end{aligned}$$

## 1.7 Taylorův rozvoj

$$\begin{aligned} f(x) &= a_0 + a_1 x + a_2 x^2 + \dots \\ a_0 &= f(x_0) \quad a_1 = f'(x_0) \quad 2a_2 = f''(x_0) \quad 2 \cdot 3a_3 = f'''(x_0) \quad \dots \end{aligned}$$

$$f(x) = f(x_0) + f'(x_0)(x-x_0) + \frac{f''(x_0)(x-x_0)^2}{2} + \frac{f'''(x_0)(x-x_0)^3}{3!} + \dots = \sum_{n=0}^{+\infty} \frac{f^{(n)}(x_0)(x-x_0)^n}{n!}$$

Jedná se o approximaci fce polynomem. Dá se využít při zjednodušování některých vztahů.

$$W_{LHO} = \frac{1}{2} k(x - x_0)^2 \rightarrow \omega = \sqrt{\frac{k}{m}}$$

$$W_p = \frac{l^2}{2mr} - \frac{GmM}{r} = W_p(r_0) + W'_p(r_0)(r - r_0) + W''_p(r_0)(r - r_0)^2 + \dots$$

$$F = -\text{grad } (W_p) \quad k = W''_p(R_0)$$

$$W_g = -\frac{GmM}{r} = -\frac{GmM}{R_0} + \frac{GmM}{R_0^2}(r - R_0) = \text{konst.} + g(R_0)m \approx mgh = W_t$$

$$(1+x)^n = \binom{n}{0} 1^n x^0 + \binom{n}{1} 1^{n-1} x^1 + \binom{n}{2} 1^{n-2} x^2 + \binom{n}{3} 1^{n-3} x^3 + \dots$$

$$(1+x)^n = (1+x_0)^n + n(1+x_0)^{n-1}(x-x_0) + \frac{n(n-1)(1+x_0)^{n-2}(x-x_0)}{2} + \dots$$

$$\Rightarrow (1+\varepsilon)^n \doteq 1 + n\varepsilon$$

Další možností jak definovat  $\nabla^2$  je

$$\begin{aligned}\nabla^2 \vec{F} &= \text{grad div } \vec{F} - \text{rot rot } \vec{A} \\ \vec{a} \times (\vec{b} \times \vec{c}) &= \vec{b}(\vec{a} \cdot \vec{c}) - \vec{c}(\vec{a} \cdot \vec{b}) \\ \text{rot rot } \vec{A} &= \text{grad div } \vec{F} - \nabla^2 \vec{F} = \nabla \times (\nabla \times \vec{F})\end{aligned}$$

## 2 Speciální teorie relativity

Jedná se o zvláštní formu obecné teorie relativity. Popírá pojem absolutního času a prostoru, který se utvářel od dob Newtona a Descarta. Römer se zabývá pojmem absolutního času. Co se týče obrázků, tak sem se moc nehodí, protože to potom akorát mate.

1. pozorování možnosti konečnosti rychlosti světla byla změna ze Země pozorované periody oběhu měsíce Io kolem Jupitera v závislosti na směru rotace Země kolem Slunce. Io má poměrně krátkou a pozorovatelnou periodu oběhu, a to asi 1,75 dne. Pulsy, kdy je Io vidět, lze approximovat zářením s vlnovou délkou, frekvencí apod.

$$n = \frac{l}{\lambda} = \frac{ct}{\lambda} \quad \frac{n}{t} = \frac{c}{\lambda} = f$$

kde  $n$  je počet oběhů kolem Jupitera a  $l$  vzdálenost od Země

$$\begin{aligned} n' &= \frac{l}{\lambda} + \frac{l'}{\lambda} = \frac{l}{\lambda} + \frac{vt}{\lambda} = \frac{ct + vt}{\lambda} \\ l' &= vt \\ f'_{ke} &= \frac{c+v}{\lambda} \frac{c}{c} = \frac{c+v}{c} f \\ f''_{od} &= \frac{c-v}{c} f \\ \frac{f'_{ke}}{f''_{od}} \frac{c+v}{c-v} &= \frac{T''_{od}}{T'_{ke}} \\ c &= \frac{T''_{od} + T'_{ke}}{T''_{od} - T'_{ke}} = 2,14 \cdot 10^8 \text{ m/s} \end{aligned}$$

Další, kdo dokázal konečnost rychlosti světla byli Badley a Fizeau. Michelson ve svém experimentu dokázal prakticky totéž, ale interpretovat to jako brzdění světla ve směru proti směru rotace Země éterem, který vyplňuje prostor. Jeho experiment spočíval v měření rychlosti světla v tečném a normálovém směru k rotaci Země kolem Slunce. Michelson se domníval, že bude platit  $c_2 = c_1 - v$ , ale vyšlo mu  $c_1 = c_2$ . Tímto experimentem nevědomky podložil teorii relativity publikovanou později (Einstein se o tomto experimentu během své práce nedozvěděl).

$$\begin{aligned} v &= \frac{l}{t} \quad (1+\varepsilon)^n \doteq 1+n\varepsilon \\ t_{ABA} &= \frac{l}{c+v} + \frac{l}{c-v} = \frac{l(c-v+c+v)}{c^2-v^2} = \frac{2l}{c} \frac{1}{1-\frac{v^2}{c^2}} \doteq \frac{2l}{c} \left(1 + \frac{v^2}{c^2}\right) \\ t_{ACA} &= \frac{2\sqrt{l^2 + \left(\frac{vt_{ACA}}{2}\right)^2}}{c} \\ c^2 &= T_{ACA}^2 = 4l^2 + 4\frac{v^2 t_{ACA}^2}{4} \end{aligned}$$

$$t_{ACA}^2(c^2 - v^2) = 4l^2$$

$$t_{ACA} = \sqrt{\frac{4l^2}{c^2 - v^2}} = \frac{2l}{c\sqrt{1 - \frac{v^2}{c^2}}} \doteq \frac{2l}{c} \left(1 + \frac{v^2}{2c^2}\right)$$

$$\Delta t = t_{ABA} - t_{ACA} = \frac{lv^2}{c^3}$$

$$c = \frac{1}{\sqrt{\epsilon_0 \mu_0}} \quad c = 299792,458 \text{ km/s}$$

## 2.1 Lorentzovy transformace v jednom směru

Lorentz tyto transformace sestrojil jako vysvětlení Michelsonova experimentu (to jako před Einsteinem). Vychází ze dvou postulátů:

1. Žádným fyzikálním způsobem nelze zjistit absolutní pohyb
2. Rychlosť světla ( $c$ ) je všude stejná

Lze je uplatnit jen na inerciální systémy, tedy systémy, které jsou ve vzájemném nezrychleném pohybu.

Ve skriptech je něco jako:

$$c^2 t'^2 - x'^2 = ct^2 - x^2$$

kamžto se má dosadit

$$x' = x - vt \rightarrow x' = A(x - vt)$$

$$t' = t \rightarrow t' = Bx - ct$$

My si ale ukážeme Břeňův postup:

Čas se zavádí jako další souřadnice, souřadnice  $y$  a  $z$  se nemění, takže  $y' = y$  a  $z' = z$ .

$$x' = Ax + Bt$$

$$t' = Cx + Dt$$

když pak  $x' = 0$  tak pro  $\forall t$

$$0 = Avt + Bt$$

$$B = -Av$$

$$x' = A(x - vt)$$

$$x = A(x' + vt')$$

Tyto dva vztahy se liší jen o  $-$ , protože obě soustavy se vůči sobě pohybují se stejnou rychlostí, ale v opačném směru. Pro vlnoplochu světla platí

$$x' = ct'$$

$$x = ct$$

(pro  $o \equiv o'$ )

$$\begin{aligned} ct' &= A(ct - vt) = A(c - v)t \\ ct &= A(ct' + vt') = A(c + v)t' \end{aligned}$$

Vynásobením obou rovnic získáme

$$c^2tt' = A^2(c^2 - v^2)tt'$$

$$A = \pm \frac{1}{\sqrt{1 - \frac{v^2}{c^2}}}$$

Protože  $x'$  roste  $\Leftrightarrow x$  roste, tak můžeme uvažovat jen kladné A. Ozn.  $|A| \equiv \gamma$  a  $\frac{v}{c} = \beta$

$$x' = A(x - vt) = \gamma x - \gamma vt$$

$$x = A(x' + vt') = \gamma x' + \gamma vt'$$

Když pak dosadíme první do druhé tak

$$x = \gamma^2 x - \gamma^2 vt + \gamma vt'$$

$$t' = \frac{\gamma^2 vt + (x - \gamma^2 x)}{\gamma v} = \gamma \left( t - \frac{v}{c^2} x \right)$$

Ve finále tedy dostáváme

$$x' = \gamma \left( x - \frac{v}{c} ct \right)$$

$$ct' = \gamma \left( ct - \frac{v}{c} x \right)$$

$$\begin{pmatrix} ct \\ x \\ y \\ z \end{pmatrix}' = \begin{pmatrix} \gamma & -\beta\gamma & 0 & 0 \\ -\beta\gamma & \gamma & 0 & 0 \\ 0 & 0 & 1 & 0 \\ 0 & 0 & 0 & 1 \end{pmatrix} \begin{pmatrix} ct \\ x \\ y \\ z \end{pmatrix} = \Lambda \begin{pmatrix} ct \\ x \\ y \\ z \end{pmatrix}$$

kde  $\Lambda$  je matice Lorentzových transformací

$$\Lambda = \begin{pmatrix} \gamma & -\beta\gamma & 0 & 0 \\ -\beta\gamma & \gamma & 0 & 0 \\ 0 & 0 & 1 & 0 \\ 0 & 0 & 0 & 1 \end{pmatrix} \quad \Lambda^{-1} = \begin{pmatrix} \gamma & \beta\gamma & 0 & 0 \\ \beta\gamma & \gamma & 0 & 0 \\ 0 & 0 & 1 & 0 \\ 0 & 0 & 0 & 1 \end{pmatrix} \quad (2)$$

$\Lambda$  se od své inverzní podoby  $\Lambda^{-1}$  liší jen ve směru rychlosti, tedy  $v \rightarrow -v$  takže  $\beta \rightarrow -\beta$

$$\begin{pmatrix} \cos \alpha & \sin \alpha & 0 \\ -\sin \alpha & \cos \alpha & 0 \\ 0 & 0 & 1 \end{pmatrix} = R_z(\alpha)$$

$$\det R_z(\alpha) = \cos^2 \alpha + \sin^2 \alpha = 1$$

$$\det \Lambda = \gamma^2 - \beta^2 \gamma^2 = \gamma^2(1 - \beta^2) = 1$$

$$\cos \alpha = \gamma \quad \sin \alpha = -\beta \gamma$$

$$\rightarrow \cosh^2 \alpha - \sinh^2 \alpha = 1$$

$$\cosh \varphi = \gamma \quad \sinh \varphi = \beta \gamma \quad \tanh \varphi = \beta = \frac{v}{c}$$

$$\varphi = \tanh^{-1} \left( \frac{v}{c} \right) \quad \text{rapidita}$$

$$\cosh x = \frac{e^{ix} + e^{-ix}}{2} \quad \cosh x = \frac{e^x + e^{-x}}{2} = \cos(ix)$$

$$\sinh x = \frac{e^{ix} - e^{-ix}}{2} \quad \sinh x = \frac{e^x - e^{-x}}{2} = i \sin(ix)$$

Při troše fantazie poznáme, že se vlastně jedná o rotaci roviny  $\Theta x$  o imaginární úhel ve 4D prostoru.

$$\begin{aligned} dS'^2 &\equiv -c^2 dt'^2 + dx'^2 + dy'^2 + dz'^2 = -c^2 \left( \frac{dt - \frac{v}{c^2} dx}{\sqrt{1 - \frac{v^2}{c^2}}} \right)^2 + \left( \frac{dx - v dt}{\sqrt{1 - \frac{v^2}{c^2}}} \right)^2 + dy^2 + dz^2 = \\ &= -c^2 \frac{dt^2}{1 - \frac{v^2}{c^2}} + \frac{2c^2 dt \frac{v}{c^2} dx}{1 - \frac{v^2}{c^2}} - \frac{\frac{v^2}{c^4} dx^2 c^2}{1 - \frac{v^2}{c^2}} + \frac{dx^2}{1 - \frac{v^2}{c^2}} - \frac{2dtv dx}{1 - \frac{v^2}{c^2}} + \frac{v^2 dt^2}{1 - \frac{v^2}{c^2}} + dy^2 + dz^2 = \\ &= -c^2 dt^2 \left( \frac{1}{1 - \frac{v^2}{c^2}} - \frac{\frac{v^2}{c^2}}{1 - \frac{v^2}{c^2}} \right) + dx^2 \left( \frac{1}{1 - \frac{v^2}{c^2}} - \frac{\frac{v^2}{c^2}}{1 - \frac{v^2}{c^2}} \right) + dy^2 + dz^2 = \\ &= dx^2 + dy^2 + dz^2 - c^2 dt^2 = dS^2 \end{aligned}$$

což je časoprostorová vzdálenost mezi 2 událostmi, která se zachovává (je invariantní vůči Lorentzovým transformacím - transformacemi se nemění) a spojuje čas s prostorem za vzniku časoprostoru<sup>2</sup>.

$$r^\alpha = \begin{pmatrix} ct \\ \vec{r} \end{pmatrix} = (ct; r^i) = \begin{pmatrix} ct \\ x \\ y \\ z \end{pmatrix}$$

---

<sup>2</sup>Pro uvedení na pravou míru: Tady udělal na přednášce Břeň chybíčku, že neumocnil některé odmocniny ve jmenovateli. Tyto členy se však stejně odečetly.

kde  $r^0 = ct$  a  $r^i = \vec{r}$  pro  $\alpha = 0, 1, 2, 3$  a  $i = 1, 2, 3$

$$dS^2 = dr^\alpha dr^\beta \eta_{\alpha\beta}$$

$$\eta_{\alpha\beta} = \begin{pmatrix} -1 & 0 & 0 & 0 \\ 0 & 1 & 0 & 0 \\ 0 & 0 & 1 & 0 \\ 0 & 0 & 0 & 1 \end{pmatrix} \quad (3)$$

kde  $\eta_{\alpha\beta}$  je metrický tenzor plochého (Minkowského) časoprostoru.  
Pro popis ve sférických souřadnicích

$$dS^2 = -c^2 dt^2 + dr^2 + r^2 d\theta^2 + r^2 \sin^2 \theta d\varphi^2$$

lze použít

$$\eta_{\alpha\beta} = \begin{pmatrix} -1 & 0 & 0 & 0 \\ 0 & 1 & 0 & 0 \\ 0 & 0 & r^2 & 0 \\ 0 & 0 & 0 & r^2 \sin^2 \theta \end{pmatrix}$$

**Relativita současnosti** - dvě události pozorované jedním pozorovatelem současně už z pohledu druhého pozorovatele současně probíhat nemusí.

### 2.1.1 Dilatace času

Dá se ukázkově demonstrovat na fotonových hodinách (které jsou pro běžné použití - mimo relativitu - docela nepraktické). Uvažujme tedy foton odrážející se mezi dvěma rovnoběžnými zrcadly ve vzájemné vzdálenosti  $h$ . Ozn.  $t_s$  čas pozorovatele, který stojí, a  $t_l$  čas soustavy pohybující se rychlostí  $v$ .

$$t_s = \frac{2h}{c} \quad \text{a} \quad t_l = \frac{2}{c} \sqrt{h^2 + \left(\frac{vt_l}{2}\right)^2}$$

$$c^2 t_l^2 = 4h^2 + v^2 t_l^2$$

$$t_l = \sqrt{\frac{4h^2}{c^2 - v^2}} = \frac{2h}{\sqrt{c^2 - v^2}} = \frac{t_s}{1 - \frac{v^2}{c^2}}$$

Což je v porovnání s L. t.

$$\Delta t' = \frac{\Delta t - \frac{v}{c^2} \Delta x}{\sqrt{1 - \frac{v^2}{c^2}}} \Delta t' \xrightarrow{\Delta x=0} \frac{\Delta t}{\sqrt{1 - \frac{v^2}{c^2}}} \Delta t \gamma \quad (4)$$

### 2.1.2 Kontrakce délek

Uvažujme opět vzájemně se pohybující soustavy. V té, která se zrovna pohybuje rychlostí  $v$ , máme předmět délky  $l'$ . Ze středu našeho předmětu vyšleme rychlostí  $c$  impuls, při jehož zaznamenání na koncích onoho předmětu si poznamenáme polohu obou konců. Využijeme Lorentzovy transformace:

$$\Delta x' = \frac{\Delta x - v\Delta t}{\sqrt{1 - \frac{v^2}{c^2}}} \quad \text{a} \quad \Delta t' = \frac{\Delta t - \frac{v}{c^2}\Delta x}{\sqrt{1 - \frac{v^2}{c^2}}}$$

Máme tedy

$$l' = x'_2 - x'_1 \quad \text{pohybující se délka}$$

$$t' = t'_2 - t'_1 = 0$$

$$l = x_2 - x_1 \quad \text{klidová délka}$$

$$l' = \frac{l - v(t_2^* - t_1^*)}{\sqrt{1 - \frac{v^2}{c^2}}}$$

kde časy  $s^*$  jsou časy transformované do nepohybující se soustavy  
Přičemž ze transformace času lze vyvodit

$$0 = [(t_2^* - t_1^*) - \frac{v}{c^2}l]\gamma$$

$$t_2^* - t_1^* = \frac{v}{c^2}l$$

takže

$$l' = \frac{l - \frac{v^2}{c^2}l}{\sqrt{1 - \frac{v^2}{c^2}}} = l\sqrt{1 - \frac{v^2}{c^2}} = \frac{l}{\gamma} \quad (5)$$

kde  $l$  je vlastní délka předmětu a  $l'$  relativní délka

(ve skriptech jsou počáteční podmínky naopak, tj.  $t' \leftrightarrow t$ )

### 2.1.3 Skládání rychlostí

Opět budeme vycházet z L. t.:

$$dx = \frac{dx' + vdt'}{\sqrt{1 - \frac{v^2}{c^2}}} \quad \text{a} \quad dt = \frac{dt' + \frac{v}{c^2}dx'}{\sqrt{1 - \frac{v^2}{c^2}}}$$

Pak mějme nějaký předmět pohybující se rychlostí  $u'$  v systému, který se pohybuje rychlostí  $v$ . Předmět se oproti systému v klidu pohybuje rychlostí  $u$

$$u_x = \frac{dx}{dt} = \frac{\gamma(\frac{dx'}{dt'} + v)dt'}{\gamma(1 + \frac{v}{c^2}\frac{dx'}{dt'})dt'} = \frac{u'_x + v}{1 + \frac{vu'_x}{c^2}} \quad (6)$$

$$v \rightarrow c \quad \wedge \quad u' \rightarrow c \quad \Rightarrow \quad u \rightarrow c$$

Rychlosť tak nemôže prekročiť rychlosť svetla  $c$ .

$$\frac{dx'}{dt'} = u'_x = \frac{u_x - v}{1 - \frac{vu_x}{c^2}}$$

Jako jakousi kontrolu lze použít následující postup

$$\tanh \varphi = \frac{v}{c}$$

$$\begin{aligned} \tanh(a+b) &= \frac{\sinh(a+b)}{\cosh(a+b)} = \frac{\sinh a \cosh b + \sinh b \cosh a}{\cosh a \cosh b + \sinh a \sinh b} \frac{\frac{1}{\cosh a \cosh b}}{\frac{1}{\cosh a \cosh b}} = \frac{\tanh a + \tanh b}{1 + \tanh a \tanh b} \\ \frac{u_x}{c} &= \tanh(\varphi_1 + \varphi_2) = \frac{\tanh \varphi_1 + \tanh \varphi_2}{1 + \tanh \varphi_1 \tanh \varphi_2} = \frac{1}{c} \frac{u'_x + v}{1 + \frac{vu'_x}{c^2}} \end{aligned}$$

Pri skladaní rychlosť se už nezachovávají ostatní složky rychlosťi, ale mění se také

$$u_y = \frac{dy}{dt} = \frac{dy'}{(dt' + \frac{v}{c^2} dx')\gamma} = \frac{dy'}{(1 + \frac{v}{c^2} u'_x)\gamma dt'} = \frac{u'_y}{(1 + \frac{vu'_x}{c^2})\gamma}$$

tedy  $y' = y \Rightarrow u'_y \neq u_y$

Pro  $z$ -tovou složku rychlosťi platí obdobný vztah

$$u_x^2 + u_y^2 + u_z^2 \leq c^2$$

Tyto transformace nemají vliv na kauzalitu, následek tedy vždy následuje příčinu a nikoliv naopak.

## 2.2 Lorenzovy transformace obecně v časoprostoru

Zatím jsme se zabývali jen zvláštním případem, a to v jednom směru. Transformace pro libovolný směr získámě následovně

$$\begin{aligned} x' &= \gamma(x - vt) & t' &= \gamma(t - \frac{v}{c^2}x) & y' &= y & z' &= z \\ vr_{||} &= \vec{v} \cdot \vec{r}_{||} = \vec{v} \cdot (\vec{r}_{||} + \vec{r}_{\perp}) = \vec{v} \cdot \vec{r} \\ t' &= \gamma \left( t - \frac{vr_{||}}{c^2} \right) = \gamma \left( t - \frac{\vec{v} \cdot \vec{r}}{c^2} \right) \\ \vec{r}' &= \vec{r}_{\perp} + \gamma(\vec{r}_{||} - \vec{v}t) \\ \vec{r}_{||} &= r \cos \theta \frac{\vec{v}}{v} & \cos \theta &= \frac{\vec{v} \cdot \vec{r}}{vr} & \vec{v} \cdot \vec{r} &= vr \cos \theta \end{aligned}$$

$$\begin{aligned}
\vec{r}_\parallel &= \frac{r(\vec{v} \cdot \vec{r})}{vr} \frac{\vec{v}}{v} = \frac{(\vec{v} \cdot \vec{r}) \cdot \vec{v}}{v^2} \\
\vec{v} \cdot \vec{r}_\parallel &= (\vec{v} \cdot \vec{r}) \frac{\vec{v} \cdot \vec{v}}{v^2} = \vec{v} \cdot \vec{r} \\
\vec{r}' &= \vec{r} + (\gamma - 1)\vec{r}_\parallel - \gamma \vec{v}t = \vec{r} + (\gamma - 1) \frac{(\vec{v} \cdot \vec{r}) \cdot \vec{v}}{v^2} - \gamma \vec{v}t = \vec{r} + \left[ (\gamma - 1) \frac{\vec{v} \cdot \vec{r}}{v^2} - \gamma t \right] \vec{v} \quad (7)
\end{aligned}$$

Dilatace času obecně

$$t' = \gamma \left( t - \frac{\vec{v} \cdot \vec{r}}{c^2} \right) \quad (8)$$

Skládání rychlostí obecně

$$\begin{aligned}
\vec{u}' &= \frac{d\vec{r}'}{dt'} = \frac{d\vec{r} + \left[ (\gamma - 1) \frac{\vec{v} \cdot d\vec{r}}{v^2} - \gamma dt \right] \vec{v}}{\gamma \left( dt - \frac{\vec{v} \cdot d\vec{r}}{c^2} \right)} = \frac{\left( \frac{d\vec{r}}{dt} + \left[ (\gamma - 1) \frac{\vec{v} \cdot \frac{d\vec{r}}{dt}}{v^2} - \gamma \right] \vec{v} \right) dt}{\gamma \left( 1 - \frac{\vec{v} \cdot \frac{d\vec{r}}{dt}}{c^2} \right) dt} = \frac{\vec{u} + \left[ (\gamma - 1) \frac{\vec{v} \cdot \vec{u}}{v^2} - \gamma \right] \vec{v}}{\gamma \left( 1 - \frac{\vec{v} \cdot \vec{u}}{c^2} \right)} \quad (9)
\end{aligned}$$

Pro případ, kdy  $\vec{u} \parallel \vec{v}$

$$u' = \frac{u + \gamma \frac{v^2 u}{v^2} - \gamma v - \frac{v^2 u}{v^2}}{\gamma \left( 1 - \frac{vu}{c^2} \right)} = \frac{u - v}{1 - \frac{uv}{c^2}}$$

Ukázali jsme si tedy korektnost takto vyjádřeného skládání rychlostí v prostoru

### 2.3 Něco o vlnách, Dopplerův jev

Vlna je charakterizovaná hlavně svojí vlnovou délkou  $\lambda$ , která charakterizuje délku jedné vlny (míst se stejnou fází) v prostoru, a periodou  $T$ , která je víceméně totéž ale v čase. Z těchto hlavních parametrů se dá určit mnoho dalších.

$$\omega \equiv \frac{2\pi}{T} \quad \vec{k} \equiv \frac{2\pi}{\lambda} \frac{\vec{v}}{v} \quad \frac{\lambda}{T} = v = \frac{\omega}{|\vec{k}|}$$

Elektrická intenzita vlnění se mění takto

$$E = E_0 e^{i(\omega t + \vec{k} \cdot \vec{r})} = e^{i\omega t} e^{\phi(t; \vec{r})}$$

Fáze je v inerciální soustavě stejná

$$\begin{aligned}
\omega't' - k'x' &= \omega t - kx \\
t' &= \left( t - \frac{v}{c^2}x \right) \gamma \\
x' &= (x - vt)\gamma
\end{aligned}$$

Když tyto rovnice vzájemně dosadíme, dostaneme

$$\omega' \left( t - \frac{v}{c^2}x \right) \gamma - k' (x - vt) \gamma = \omega t - kx$$

$$\omega't\gamma - \omega'\frac{v}{c^2}x\gamma - k'x\gamma - k'vt\gamma = \omega t - kx$$

Rozdělíme na dvě rovnice podle členů  $t$  a  $x$

$$\omega = (\omega' + k'v)\gamma \quad \text{a} \quad \omega' = (\omega + kv)\gamma$$

$$k = \left( \omega' \frac{v}{c^2} + k' \right) \gamma \quad \text{a} \quad k' = \left( \omega \frac{v}{c^2} - k \right) \gamma$$

$$\left( \frac{\omega}{k} \right)' = \Lambda \left( \frac{\omega}{k} \right)$$

Vzniká nám invariantní vlnový čtyřvektor

$$k^\alpha = \left( \frac{\omega}{k} \right)$$

takže ( $\eta_{\alpha\beta}$  viz Minkowského časoprostor výše(3 str. 16)

$$k^\alpha k^\beta \eta_{\alpha\beta} = \left( \frac{\omega}{c} \right)^2 (-1) + k^2 (1) = -\frac{\omega^2}{c^2} + k^2$$

Uvažujme tedy zdroj vlnění v soustavě  $S'$  pohybující se rychlostí  $v$ . Vlnění je charakterizováno  $\omega$  a  $\vec{k}$ . Ozn.  $\alpha$  úhel směrem k pozorovateli, který je v soustavě  $S$ . Takže

$$k'_x = k' \cos \alpha'$$

$$\omega = (\omega' + vk')\gamma$$

$$\begin{pmatrix} \frac{\omega}{c} \\ k_x \\ k_y \\ k_z \end{pmatrix} = \begin{pmatrix} \gamma & \beta\gamma & 0 & 0 \\ \beta\gamma & \gamma & 0 & 0 \\ 0 & 0 & 1 & 0 \\ 0 & 0 & 0 & 1 \end{pmatrix} \begin{pmatrix} \frac{\omega}{c} \\ k_x \\ k_y \\ k_z \end{pmatrix}'$$

$$\frac{\omega}{c} = \left( \frac{\omega'}{c} + \beta k'_x \right) \gamma$$

$$k_x = \left( \frac{\omega'}{c} \beta + k'_x \right) \gamma$$

$$k' = \frac{\omega'}{c} \quad \beta = \frac{v}{c}$$

$$\frac{\omega}{c} = \gamma \left( \frac{\omega'}{c} + \frac{v}{c} k' \cos \alpha' \right)$$

$$\omega = \gamma \left( \omega' + v \frac{\omega'}{c} \cos \alpha' \right)$$

$$\cos \alpha = \frac{u_x}{c}$$

$$\cos \alpha' = \frac{u'_x}{c} = \frac{1}{c} \frac{u_x - v}{1 - \frac{u_x v}{c^2}} = \frac{\cos \alpha - \frac{v}{c}}{1 - \cos \alpha \frac{v}{c}}$$

$$\omega = \gamma \omega' \left( 1 + \frac{v}{c} \frac{\cos \alpha - \frac{v}{c}}{1 - \cos \alpha \frac{v}{c}} \right) = \gamma \omega' \left( \frac{1 - \cos \alpha \frac{v}{c} + \frac{v}{c} \cos \alpha - \frac{v^2}{c^2}}{1 - \cos \alpha \frac{v}{c}} \right) = \gamma \omega' \left( \frac{1 - \frac{v^2}{c^2}}{1 - \cos \alpha \frac{v}{c}} \right)$$

Což je už konečná rovnice Dopplerova jevu.  $\omega'$  nazýváme klidová frekvence tedy taková, kterou vnímáme, když jsme vzájemně v klidu. Případ, kdy se pozorovaná soustava pohybuje směrem k pozorovateli, nastává když  $\alpha = 0$  (vlevo), při pohybu od pozorovatele je  $\alpha = \pi$  (vpravo).

$$\omega = \gamma \omega' \left( \frac{1 - \frac{v^2}{c^2}}{1 - \frac{v}{c}} \right) \quad \omega = \gamma \omega' \left( \frac{1 - \frac{v^2}{c^2}}{1 + \frac{v}{c}} \right)$$

## 2.4 Další invariantní čtyřvektory

**Hustota náboje**

$$\rho = \lim_{\Delta V \rightarrow 0} \frac{\Delta Q}{\Delta V} = \frac{dQ}{dV}$$

Oproti rychlosti je náboj ( $Q$ ) invariantní.  $I$  je elektrický proud.

$$\frac{\partial Q}{\partial t} = I$$

$$dI = \frac{\partial Q}{\partial t} = \frac{\partial Q}{\partial V} \frac{dl \cdot dS}{\partial t} = \rho v dS$$

$$\begin{pmatrix} \rho c \\ \vec{j} \end{pmatrix} = \begin{pmatrix} \rho c \\ \rho \vec{v} \end{pmatrix} \equiv j^\alpha$$

Když si rozepíšeme hustotu náboje, tak s použitím kontrakce délek (5) (vlivem kontrakce se mění i objem) dostaneme následující vztah

$$\rho = \frac{dQ}{dV} = \frac{dQ}{dV_0} \frac{dV_0}{dV} = \rho_0 \gamma$$

$$j^\alpha j^\beta \eta_{\alpha\beta} = \rho_0^2 \gamma^2 c^2 (-1) + \rho_0^2 \gamma^2 v^2 = \rho_0^2 \frac{v^2 - c^2}{1 - \frac{v^2}{c^2}} = -c^2 \rho_0^2$$

pak podle (2)

$$\begin{pmatrix} \rho c \\ \vec{j} \end{pmatrix}' = \Lambda \begin{pmatrix} \rho c \\ \vec{j} \end{pmatrix}$$

což je proudový čtyřvektor

Další příklady jsou rozptýlené všude okolo

$$\begin{pmatrix} \frac{E}{c} \\ \vec{p} \end{pmatrix} \quad \begin{pmatrix} ct \\ \vec{r} \end{pmatrix} \quad \begin{pmatrix} \frac{m}{c} \\ K \end{pmatrix}$$

## 2.5 Disperzní relace

Udává rychlost složek světla v závislosti na prostředí, ve kterém se šíří. Říká

$$\omega = c |\vec{k}| \quad \omega^2 = c^2 k^2$$

Zavedeme si grupovou a fázovou rychlosť ( $v_g$  a  $v_f$ ).

$$v_f = \frac{\omega}{k} \quad v_g = \frac{\partial \omega}{\partial k} \leq c$$

Fázová rychlosť sice může být nadsvětelná (rychlosť pohybu „prasátka“ po stěně), ale nenese žádnou informaci, takže není v rozporu s konečnou rychlosťí šíření informace.

## 2.6 Dynamika ve speciální teorii relativity

$$dS^2 \equiv -c^2 dt^2 + dr^2 \equiv -c^2 d\tau^2$$

kde  $\tau$  je vlastní čas - čas měřený v klidu. Toto označujeme jako časový invariant.

$$d\tau = dt \sqrt{1 - \frac{(\frac{dr}{dt})^2}{c^2}} = dt \sqrt{1 - \frac{v^2}{c^2}}$$

Což je vlastně dilatace času (4)

Derivací čtyřvektoru polohy podle vlastního času získáme čtyřvektor rychlosti

$$u^\alpha = \frac{dr^\alpha}{d\tau} = \left( \frac{cdt}{d\tau}; \frac{d\vec{r}}{d\tau} \right) = (c\gamma; \vec{v}\gamma)$$

$$u^\alpha u^\beta \eta_{\alpha\beta} = -\frac{c^2}{1 - \frac{v^2}{c^2}} + v^2 \gamma^2 = -c^2$$

### 2.6.1 Hybnost

$$\begin{aligned} p^\alpha &= m_0 u^\alpha = (m_0 c\gamma; m_0 \vec{v}\gamma) \\ p^i &= \vec{p} = m\vec{v} \quad \rightarrow \quad m \equiv m_0 \gamma \end{aligned}$$

kde  $\alpha = 0, 1, 2, 3$  a  $i = 1, 2, 3$ . „Klasická“ hmotnost  $m_0$  je jen geometrická záležitost, která závisí jen na velikosti, popř. složení, zatímco  $m$  je již fyzikální záležitost, mění se v závislosti na rychlosti. Sílu můžeme psát jako v klasické mechanice nebo (zatím nevyvráceno) následovně

$$\begin{aligned} \vec{F} &= m \frac{d\vec{v}}{dt} \quad (\text{klasická mechanika}) \quad = \frac{d}{dt}(m\vec{v}) \\ \frac{m_0}{\sqrt{1 - \frac{v^2}{c^2}}} \frac{dv}{dt} &= F \quad \rightarrow \quad \int \frac{m_0}{\sqrt{1 - \frac{v^2}{c^2}}} dv = \int F dt = Ft \end{aligned}$$

$$\begin{aligned}
\frac{d}{dt} \left( \frac{m_0 v}{\sqrt{1 - \frac{v^2}{c^2}}} \right) = F &\rightarrow \int d \left( \frac{m_0 v}{\sqrt{1 - \frac{v^2}{c^2}}} \right) = \left( \frac{m_0 v}{\sqrt{1 - \frac{v^2}{c^2}}} \right) = Ft \\
\vec{F} = \frac{d}{dt}(m\vec{v}) = \frac{d}{dt}(m_0\gamma\vec{v}) &= m_0 \frac{d\vec{v}}{dt} \gamma + m_0 \vec{v} \left( -\frac{1}{2} \right) \gamma^3 \left( -2 \frac{\vec{v}}{c^2} \right) \frac{d\vec{v}}{dt} = \\
&= m\vec{a} + \frac{m_0}{\sqrt{1 - \frac{v^2}{c^2}}} \frac{\vec{v}\vec{a}}{1 - \frac{v^2}{c^2}} \frac{\vec{v}}{c^2} \\
|(10) \quad \vec{v}\|\vec{a}\| = m\vec{a} + \frac{mv^2\vec{a}}{1 - \frac{v^2}{c^2}} \frac{1}{c^2} &= m\vec{a} \left( 1 + \frac{v^2}{c^2 - v^2} \right) = m\vec{a} \frac{1}{1 - \frac{v^2}{c^2}} = m_0 \vec{a} \gamma^3
\end{aligned} \tag{10}$$

kde  $m_0\gamma^3$  nazýváme podélnou hmotností

$$|(10) \quad \vec{v} \perp \vec{a}| = \frac{m_0}{\sqrt{1 - \frac{v^2}{c^2}}} \vec{a} = m_0 \gamma \vec{a}$$

kde  $m_0\gamma$  nazýváme příčnou hmotností

### 2.6.2 Kinetická energie

$$dT = \vec{F}d\vec{r} = \frac{d\vec{p}}{dt}d\vec{r} = \frac{d\vec{r}}{dt}d\vec{p} = \vec{v}d(m\vec{v})$$

Ted' jsou tři možnosti jak se dostat celkové energii:

1. zintegrovat to (per partes...)

$$T = \int \vec{v}d(m\vec{v}) = m_0 \int \vec{v}d(\gamma\vec{v}) = m_0 v^2 \gamma - m_0 \int \gamma \vec{v}d\vec{v} = \dots$$

2. přes diferenciály

$$dT = vd(mv) = v^2 dm + mv dv$$

$$dm = d \left( \frac{m_0}{\sqrt{1 - \frac{v^2}{c^2}}} \right) = m_0 \left( -\frac{1}{2} \right) \gamma^3 \frac{-2v}{c^2} dv = m_0 \gamma \frac{v}{c^2} \gamma^2 dv = \frac{mv dv}{c^2 - v^2}$$

$$dT = \frac{v^2 mv dv}{c^2 - v^2} + mv dv = mv dv \frac{v^2 + c^2 - v^2}{c^2 - v^2} = \frac{c^2 mv dv}{c^2 - v^2} = c^2 dm$$

$$T - T_0 = c^2(m - m_0) \quad \text{kde} \quad T_0 \xrightarrow{v \rightarrow 0} 0 \quad \text{takže} \quad T = c^2(m - m_0)$$

$$T = mc^2 - m_0 c^2 = E - m_0 c^2$$

$$E = T + m_0 c^2 = mc^2 = m_0 \gamma c^2$$

Když si vyjádříme  $T$  a approximujeme pomocí Taylorova rozvoje  $((1 + \varepsilon)^n \doteq 1 + n\varepsilon)$  dostaneme nerelativistickou kinetickou energii.

$$T = m_0\gamma c^2 - m_0c^2 = m_0c^2(\gamma - 1) \doteq m_0c^2\left(1 + \frac{1}{2}\frac{v^2}{c^2} - 1\right) = \frac{1}{2}m_0v^2$$

Ke stejnemu výsledku dojdeme i z transformace hmotnosti

$$\begin{aligned} m &= m_0\gamma \quad \rightarrow \quad c^2m^2 - m^2v^2 = m_0^2c^2 \quad /d \\ c^22mdm - 2m(dm)v^2 - m^22vdv &= 0 \\ c^2dm - (dm)v^2 - mvdv &= 0 \end{aligned}$$

3. a do třetice

$$\begin{aligned} p^\alpha &= (mc; m\vec{v}) = \left(\frac{E}{c}; \vec{p}\right) \\ u^\alpha u^\beta \eta_{\alpha\beta} &= -c^2 \quad u^\alpha = \frac{dr^\alpha}{d\tau} \\ a^\alpha u^\beta \eta_{\alpha\beta} &= 0 \quad a^\alpha = \frac{du^\alpha}{d\tau} \quad a^\alpha \perp u^\alpha \quad d\tau = \frac{dt}{\gamma} \\ \vec{v} &= v\vec{\tau} \quad \frac{d\vec{v}}{dt} = \vec{a} = \frac{dv}{dt}\vec{\tau} + v\frac{d\vec{\tau}}{dt} = 0 \end{aligned}$$

Zavedeme čtyřsílu

$$\begin{aligned} K^\alpha &= \frac{d}{d\tau}(m_0u^\alpha) = \gamma \frac{d}{dt}(m_0u^\alpha) = \gamma \frac{d}{dt}(m_0\gamma c; m_0\gamma\vec{v}) \\ K^\alpha u^\beta \eta_{\alpha\beta} &= m_0 \frac{du^\alpha}{d\tau} u^\beta \eta_{\alpha\beta} = 0 = -K^0 u^0 + K^i u^i \\ K^0 &= \gamma \frac{d}{dt}(mc) \quad K^i = \gamma \frac{d}{dt}(m\vec{v}) \quad F^i = \frac{d}{dt}(m\vec{v}) \quad K^i = \gamma F^i \\ K^0 u^0 &= K^i u^i \\ \gamma \frac{d}{dt}(mc)\gamma c &= \gamma F^i v^i \gamma \quad \rightarrow \quad K^0 = \frac{\vec{F}\vec{v}}{c}\gamma \quad \vec{F}\vec{v} = \frac{dE}{dt} \quad \text{je výkon} \\ K^0 &= \frac{dE}{dt} \frac{\gamma}{c} = \gamma \frac{1}{dt}(mc) \quad \rightarrow \quad \frac{dE}{dt} = \frac{d}{dt}(mc^2) \\ E &= mc^2 + konst \quad \rightarrow \quad konst = 0 \quad \text{experimentálně prokázáno} \end{aligned}$$

Energetický invariant (nebo jak se tomu říká :-))

$$m = \frac{m_0}{\sqrt{1 - \frac{v^2}{c^2}}}$$

$$mc^2 = \frac{m_0 c^2}{\sqrt{1 - \frac{v^2}{c^2}}}$$

$$m^2 c^4 - m^2 v^2 c^2 = m_0^2 c^4 \rightarrow E^2 = E_0^2 + p^2 c^2$$

$$-\frac{E^2}{c^2} + p^2 = -\frac{E_0^2}{c^2} \quad \text{- invariantní} \quad \Leftrightarrow \quad \left( \frac{\frac{E}{c}}{\vec{p}} \right)$$

$$\vec{r}' = \vec{r} + \left[ (\gamma - 1) \frac{\vec{r} \vec{v} c^2}{v^2 c} - \gamma t c \right] \frac{\vec{v}}{c}$$

$$ct' = \gamma \left( ct - \frac{\vec{v} \vec{r}}{c} \right)$$

Tyto dvě poslední rovnice pasují do podoby čtyřvektoru

$$\vec{r}' = \vec{r} + \left[ (\gamma - 1) \frac{\vec{r} \vec{\beta}}{\beta^2} - \gamma t c \right] \vec{\beta} \Rightarrow \vec{p}' = \vec{p} + \left[ (\gamma - 1) \frac{\vec{p} \vec{\beta}}{\beta^2} - \gamma \frac{E}{c} \right] \vec{\beta}$$

$$ct' = \gamma \left( ct - \vec{\beta} \vec{r} \right) \Rightarrow \frac{E'}{c} = \gamma \left( \frac{E}{c} - \vec{\beta} \vec{p} \right)$$

$$\vec{F}' = \frac{dE}{\vec{u}' dt'} = \frac{dp'}{dt} = \frac{d\vec{p} + \left[ (\gamma - 1) \frac{\vec{v} d\vec{p}}{v^2} - \gamma \frac{dE}{c^2} \right] \vec{v}}{\gamma \left( 1 - \frac{\vec{v} \vec{u}}{c^2} \right) dt} = \frac{\vec{F} + \left[ (\gamma - 1) \frac{\vec{v} \vec{F}}{v^2} - \gamma \frac{\vec{F} \vec{u}}{c^2} \right] \vec{v}}{\gamma \left( 1 - \frac{\vec{v} \vec{u}}{c^2} \right)}$$

Záměnou  $\vec{v}$  za  $-\vec{v}$  získáme pohled z druhé soustavy na tu první

$$\vec{F} = \frac{\vec{F}' + \left[ (\gamma - 1) \frac{\vec{v} \vec{F}'}{v^2} + \gamma \frac{\vec{F}' \vec{u}}{c^2} \right] \vec{v}}{\gamma \left( 1 - \frac{\vec{v} \vec{u}}{c^2} \right)}$$

Postup k dopracování se k následující rovnici je na <http://aldebaran.cz/~bren/elmag/> nebo na konci dokumentu.

$$\vec{F} = \gamma \vec{F}' + (1 - \gamma) \frac{\vec{F}' \vec{v} \vec{v}}{v^2} + \frac{\gamma}{c^2} \left( \vec{u} \times (\vec{v} \times \vec{F}') \right)$$

$$\vec{F}' = k \frac{\vec{r}'}{r'^3} = k \frac{1}{r'^2} \vec{r}_0'$$

$$\begin{aligned}\vec{r'} &= \vec{r} + \vec{v} \left[ (\gamma - 1) \frac{\vec{r}\vec{v}}{v^2} - \gamma t \right] \xrightarrow{t \rightarrow 0} \vec{r} + \vec{v} \left[ (\gamma - 1) \frac{\vec{r}\vec{v}}{v^2} \right] \\ \vec{F} &= \frac{k}{r'^3} \gamma \left[ \vec{r} + \frac{1}{c^2} (\vec{u} \times (\vec{v} \times \vec{r})) \right] \\ \vec{F}' &= \frac{\vec{F}' + \vec{v}(\gamma - 1) \frac{\vec{F}'\vec{v}}{v^2} + \frac{\gamma}{c^2} (\vec{F}'\vec{u}') \vec{v}}{\gamma \left( 1 + \frac{\vec{u}'\vec{v}}{c^2} \right)}\end{aligned}$$

### 3 Obecná teorie relativity

Obecná teorie relativity je spíše teorií gravitace. Gravitace je vysvětlena zakřivením časoprostoru (víceméně geometrické pojednání).

Literatura: *G. Misner, K. Thorne, J. A. Wheeler: Gravitation*

Vychází ze dvou principů:

1. Všechny fyzikální děje mají stejný tvar ve všech vztažných soustavách.
2. Princip ekvivalence - v inerciálním systému se zrychlením dopadnou všechny děje stejně jako v systému neinerciálním pohybujícím se se zrychlením  $-g$ .

$$\vec{F} = m_s \vec{a} \quad \text{setrvačná hmotnost}$$

$$\vec{F} = -G \frac{m_g M}{r^2} \vec{r}_0 \quad \text{gravitační hmotnost}$$

#### Lokální inerciální systémy (LIS)

LIS jsou systémy volně padající klece. Cokoliv s nenulovou energií zakřivuje časoprostor.

$$\begin{aligned} dS^2 &= -c^2 dt_{LIS}^2 + dr_{LIS}^2 + r_{LIS}^2 (d\Omega_{LIS}^2) = -c^2 \left(1 - \frac{v^2}{c^2}\right) dt^2 + dr^2 \gamma^2 + r^2 (d\Omega)^2 dr^2 = \\ &= dr_{LIS} \sqrt{1 - \frac{v^2}{c^2}} \\ E &= \frac{1}{2} v^2 - G \frac{M}{r} = 0 \quad \rightarrow \quad v^2 = \frac{2GM}{r} \quad \text{ozn.} \quad r_g = \frac{2GM}{c^2} \quad (rd\Omega)^2 = r^2 d\Theta^2 + r^2 \sin^2 \Theta d\varphi^2 \\ dS^2 &= -c^2 \left(1 - \frac{2GM}{rc^2}\right) dt^2 + \frac{dr^2}{1 - \frac{2GM}{rc^2}} + r^2 (d\Omega)^2 dr^2 = -c^2 \left(1 - \frac{r_g}{r}\right) dt^2 + \frac{dr^2}{1 - \frac{r_g}{r}} + r^2 (d\Omega)^2 dr^2 \end{aligned}$$

Tento vztah se nazývá Schwarzschildova metrika a  $r_g$  Schwarzschildův poloměr. Jedná se o poloměr, kdy je nejvyšší úniková rychlosť rychlosť světla. Je-li poloměr menší, bylo by potřeba vyvinout nadsvětelnou rychlosť, takže se z takového průměru už nic nedostane. Dalším důsledkem je, že okolo gravitačně hmotných těles plyne čas pomaleji a dochází ke zpomalení frekvence. Podle této metriky se lze „vrátit v čase“, pokud  $r < r_g$ , to však má své úskalí, že se z této vzdálenosti již nelze vrátit.

Klasická fyzika operuje s pojmy absolutní čas a prostor. Speciální teorie relativity místo nich zavádí absolutní časoprostor a obecná relativita operuje se vztahem mezi tenzory zakřivení časoprostoru a tenzoru energie a hybnosti.

$$(\text{křivost časoprostoru})^{\alpha\beta} = \begin{pmatrix} \text{energie} \\ \text{hybnost} \end{pmatrix}^{\alpha\beta}$$

Když ono těleso rotuje, chová se jinak, začne na sebe časoprostor „navíjet“ a Schwarzschildův poloměr je tím také ovlivněn a vzniká oblast ze které se dá vymanit ještě podsvětelnou rychlostí.

## 4 Elektrostatika

Předpokládá, že se děje odehrávají nekonečně pomalu, chybí dynamika. Z toho plyne, že se neprojevují relativistické jevy.

### 4.1 Elektrický náboj

Elektrický náboj se značí povětšinou  $Q$  a jednotkou je „coulomb“  $C$ . Má několik základních vlastností:

- nikdy nemůže existovat samostatně, vždy je vázaný na částici
- je invariantní vůči Lotentzovým transformacím
- je kvantovaný, tj. existuje nejmenší (elementární) náboj ( $e = 1,602 \cdot 10^{-19} C$ )
- je buď kladný nebo záporný
- nevzniká ani nezaniká (zachovává se)
- Vesmír je kvazineutrální ( $N_{\oplus} : N_{\ominus} \doteq 1$ )

### 4.2 Coulombův zákon

$$\vec{F} = k \frac{q_1 q_2}{r_{1,2}^3} \vec{r}_{1,2} = k \frac{q_1 q_2}{r_{1,2}^2} \vec{r}_{1,2}$$
$$k \doteq 9 \cdot 10^9 \text{ Nm}^2 \text{C}^{-2} \quad (G = 6,67 \cdot 10^{-11})$$
$$k = \frac{1}{4\pi\epsilon_0} = \left| c^2 = \frac{1}{\epsilon_0\mu_0} \right| = \frac{\mu_0}{4\pi} c^2 = \left[ \frac{4\pi \cdot 10^{-7}}{4\pi} 9 \cdot 10^{16} \right] = [9 \cdot 10^9]$$

Platí princip superpozice, jednotlivé síly vzájemně působící na jednotlivé náboje se tedy skládají.

$$\vec{F}_3 = \vec{F}_{31} + \vec{F}_{32}$$

Pro některé situace je dobré si zavést hustotu náboje. Tu máme ve třech variantách:

1. objemová hustota náboje

$$\rho = \lim_{\Delta V \rightarrow 0} \frac{\Delta Q}{\Delta V}$$

2. plošná hustota náboje

$$\sigma = \lim_{\Delta S \rightarrow 0} \frac{\Delta Q}{\Delta S}$$

3. lineární hustota náboje

$$\tau = \lim_{\Delta l \rightarrow 0} \frac{\Delta Q}{\Delta l}$$

### 4.3 Elektrostatická energie

Jedná se o formu potenciální energie, tedy práce konané proti poli.

$$\Delta A = \vec{F} \Delta \vec{s} \quad F_{21} = k \frac{q_1 q_2}{r_{21}^2} \frac{\vec{r}_{21}}{r_{21}}$$

kde  $A$  je práce konaná silou

$$\Delta V = -\vec{F}_{21} \Delta \vec{s} = -F_{21} \Delta r$$

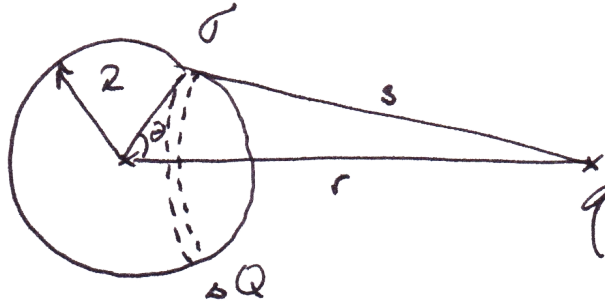
$$V = \lim_{\Delta V \rightarrow 0} \sum \Delta V = \int_{\infty}^R -k \frac{q_1 q_2}{r^2} dr = \left[ \frac{k q_1 q_2}{r} \right]_{\infty}^R = k \frac{q_1 q_2}{R}$$

Energii systému získáme jako součet všech energií.

$$V = \frac{1}{2} \sum_{\substack{i,j \\ i \neq j}} k \frac{q_1 q_2}{r_{ij}} = \sum_{\substack{i,j \\ i < j}} k \frac{q_1 q_2}{r_{ij}}$$

$$\Delta V = -\vec{F} \Delta \vec{s} = -\vec{F} \vec{e}_s \Delta s \quad \rightarrow \quad \vec{F} \vec{e}_s = \frac{\Delta V}{\Delta s} \quad \rightarrow \quad \vec{F} = -\nabla V$$

#### 4.3.1 Potenciál v okolí nabité kulové plochy



Mějme kulovou plochu o poloměru  $R$  a  $\Theta$  polohový úhel mezi spojnicí středu kulové plochy a náboje  $q$  ve vzdálenosti  $r$  od středu kulové plochy. Hustotu náboje považujme za konstantní a rovnu  $\sigma = \frac{Q}{4\pi R^2}$ . Pak

$$\Delta V = k \frac{q_1 q_2}{s}$$

$$\Delta Q = 2\pi\sigma R \sin \Theta R \Delta\Theta$$

kde  $\Delta Q$  přísluší pásu na kulové ploše šířky  $R\Delta\Theta$  ve vzdálenosti  $R \sin \Theta$  od středu ve směru podél spojnice  $q$  a  $Q$

$$s = \sqrt{r^2 + R^2 - 2rR \cos \Theta}$$

$$V = \sum \Delta V = k \int_0^\pi \frac{q\pi\sigma R^2 \sin \Theta q d\Theta}{\sqrt{r^2 + R^2 - 2rR \cos \Theta}} = \left[ 2\pi\sigma k q R^2 \frac{\sqrt{r^2 + R^2 - 2rR \cos \Theta}}{Rr} \right]_0^\pi =$$

$$= \frac{2\pi\sigma kqR^2}{Rr} (r + R - |r - R|)$$

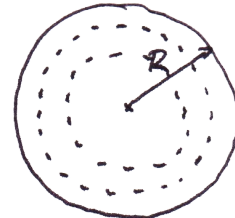
1.  $R > r$        $V = 4\pi\sigma kqR$       uvnitř koule ( $(R - r) > 0$ )

2.  $r > R$        $V = \frac{4\pi\sigma kqR^2}{r}$       vně koule ( $(r - R) > 0$ )

### 4.3.2 Hypotetický poloměr elektronu

Mějme kouli, kterou si rozdělíme na jednotlivé elementární slupky. pak je potenciál

$$\begin{aligned} V &= \int_0^Q k \frac{qdq}{R} = \frac{1}{2}k \frac{Q^2}{R} \\ Q &= \frac{4}{3}\pi R^3 \rho \quad q = \frac{4}{3}\pi r^3 \rho \quad dq = 4\pi\rho r^2 dr \\ V &= \sum k \frac{q\Delta q}{r} = \int_0^R k \frac{4\pi r^3 \rho 4\pi r^2 \rho dr}{3r} = \frac{16}{15}k\pi^2 \rho^2 R^5 = \frac{3}{5}kV_{obj}^2 \rho^2 R^{-1} = \frac{3}{5}k \frac{Q^2}{R} \\ E &= mc^2 \quad \rightarrow \quad R \doteq 2,85 \cdot 10^{-15} m \end{aligned}$$



Jedná se jen o hypotetický poloměr elektronu, a to v případě, že by se veškerá potenciální energie soustředila v kouli.

## 4.4 Elektrostatické pole

$$\begin{aligned} \int_s \vec{F} d\vec{s} &= \text{konst} \quad \rightarrow \quad \oint_l \vec{F} d\vec{l} = 0 \\ \int_S (\nabla \times \vec{F}) d\vec{S} &= 0 \quad \nabla \times \vec{F} = 0 \end{aligned}$$

Síla  $\vec{F}$  je závislá na všech nábojích a jejich velikostech a polohách. Zavádíme tedy intenzitu elektrického pole, která je mnohem vhodnější pro popis pole.

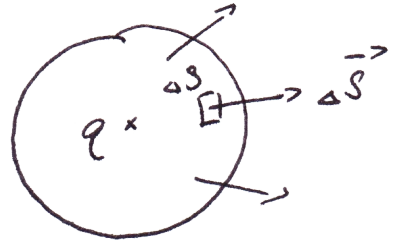
$$\vec{E} = \frac{\vec{F}}{q} \quad \oint_l \vec{E} d\vec{s} = 0 \quad \nabla \times \vec{E} = 0$$

**Siločára** - křivka, po které by se pohyboval nehmotný náboj, nebo by se pohyboval velice pomalu, aby se zamezilo vlivu setrváčních sil. Intenzita elektrického pole je k této křivce tečná.

## 4.5 Gaussův zákon elektrostatický

Platí jen pro pole závislé na  $\frac{1}{r^2}$ . Zavedeme si pojem *permitivita vakua*, kterou budeme značit  $\epsilon_0$ . Mějme kulovou plochu  $S$  s nábojem  $q$  ve středu.

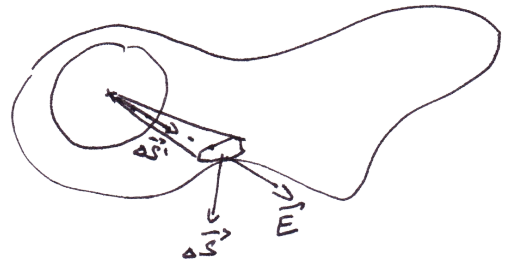
$$\vec{E} = \frac{\vec{F}}{e} = k \frac{qe}{r^2} \vec{e}_{12}$$



kde  $e$  je jednotkový náboj a  $\vec{e}$  směrový vektor  $\vec{E}$

$$\Phi = \oint_S \vec{E} d\vec{S} = \frac{1}{4\pi\epsilon_0} \left[ \frac{q}{r^2} 4\pi r^2 \right] = \frac{q}{\epsilon_0}$$

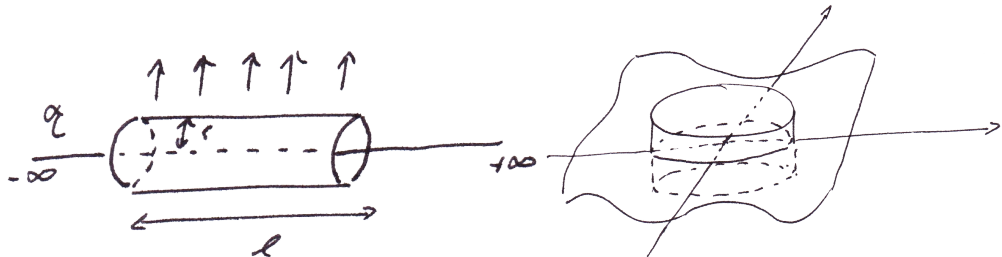
Pro případ libovolné uzavřené plochy  $S$  s nábojem  $q$  někde uvnitř naleží k normále elementu naší libovolné plochy  $\Delta\vec{S}$  připadá normálna elementu plochy promítnuté na kulovou plochu  $\Delta\vec{S}'$ . Dostáváme tak tedy pro libovolnou uzavřenou plochu stejný výsledek jako v předchozím případě kulové plochy. Náboj  $q$  je celkový náboj uvnitř uzavřené plochy.



$$\Delta S = \cos \alpha \Delta S' \quad \Delta \vec{S} \cdot \vec{E} = E \Delta S \cos \alpha = E \Delta S'$$

$$\Phi = \sum_i \frac{Q_i}{\epsilon_0} \rightarrow \oint_S \vec{E} d\vec{S} = 4E\pi r^2 = 0$$

$$\Phi = \oint_S \vec{E} d\vec{S} = E \oint dS = 4E\pi r^2 = \frac{q}{\epsilon_0} \rightarrow E = \frac{Q}{4\pi\epsilon_0 r^2}$$



Pro nekonečně dlouhý drát procházející nekonečně dlouhým válcem platí

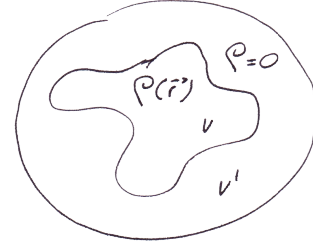
$$\Phi = \oint_{\text{valce}} \vec{E} d\vec{S} = 2 \int_p + \int_{pl} = 2\pi r l E = \frac{l\tau}{\epsilon_0}$$

kde  $\tau$  je lineární hustota. Tok přes podstavy se vyruší, protože  $\Delta\vec{S} \perp \vec{E}$

V případě roviny použijeme pro změnu zase válec s nekonečným poloměrem

$$\Phi = \oint_S \vec{E} d\vec{S} = \int_{pl} + 2 \int_p = 2S_p E = \frac{S_p \sigma}{\epsilon_0}$$

$$\begin{aligned}\Phi &= \oint_S \vec{E} d\vec{S} = \frac{Q}{\epsilon_0} \rightarrow \rho(\vec{r}) \\ \frac{Q}{\epsilon_0} &= \int_V \frac{\rho(\vec{r}) dV}{\epsilon_0} = \oint_{S'} \vec{E} d\vec{S} = \int_V \nabla \cdot \vec{E} dV \\ \oint_S \vec{E} d\vec{S} &= \int_V \nabla \cdot \vec{E} dV = \int_V \frac{\rho}{\epsilon_0} dV \\ \nabla \cdot \vec{E}(\vec{r}) &= \frac{\rho(\vec{r})}{\epsilon_0} \quad (\text{což je jedna z Maxwellových rovnic}) \\ \oint_l \vec{E} dl &= 0 \quad (\text{jedná se o práci po uzavřené křivce}) \\ \int_S \nabla \times \vec{E} d\vec{S} &= 0 = \int \vec{0} d\vec{S} \rightarrow \nabla \times \vec{E} = \vec{0} \quad (\text{pro elektrostatiku})\end{aligned}$$



A protože platí, že rotace gradientu je nula, můžeme intenzitu psát

$$\vec{E} = -\nabla \varphi \quad F_{/1} = -\nabla W_{/1}$$

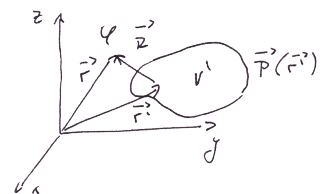
kde index  $/1$  značí veličinu působící na jednotkový náboj. Veličinu  $\varphi$  označujeme jako skalární potenciál.

$$W = \sum_i k \frac{q_i q}{|\vec{r}_i - \vec{r}|} \rightarrow \varphi = \sum_i k \frac{q_i}{|\vec{r}_i - \vec{r}|} \pm \text{konst} \quad \nabla^2 \varphi = -\frac{\rho}{\epsilon_0}$$

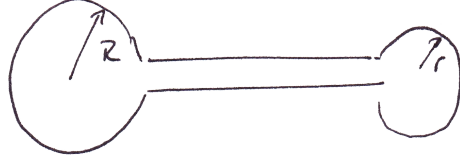
Rovnovážná poloha v elektrostatice nemůže být stabilní (jen labilní). Ve stabilizované poloze musí být 2. derivace kladná.

$$\nabla^2 \varphi = \frac{\partial^2 \varphi}{\partial x^2} + \frac{\partial^2 \varphi}{\partial y^2} + \frac{\partial^2 \varphi}{\partial z^2} = 0$$

$$\varphi = \int_{V'} k \frac{\rho dV'}{|\vec{r}' - \vec{r}|}$$



## Vsuvka



Mějme jednu malou (o hmotnosti  $m$  a náboji  $q$ ) a druhou velkou (o hmotnosti  $M$  a náboji  $Q$ ) kouli, obě vzájemně vodivě spojené. Pak na malé kouli bude větší intenzita, tzn. pokud začnou lítat blesky, tak z malé koule. Hroty se chovají podobně.

$$\vec{E} = -\nabla\varphi$$

(gradient je kolmý na konstantní plochy)

$$\varphi_{povrch} = \text{konst} \quad \varphi_R = k \frac{Q}{R} \quad \varphi_r = k \frac{q}{r} \quad \rightarrow \quad \frac{E_r}{E_R} = \frac{R}{r}$$

## 4.6 Energie elektrostatického pole



Mějme obecně nabité bramboru a dva různé elementy jejího povrchu  $\Delta V_i$  a  $\Delta V_j$ , pak potenciální energie je

$$W \approx \sum_{i < j} k \frac{\rho(r_i) \Delta V_i \rho(r_j) \Delta V_j}{r_{ij}} = \frac{1}{2} \sum_{i \neq j} k \frac{\rho(r_i) \Delta V_i \rho(r_j) \Delta V_j}{r_{ij}} \xrightarrow{\Delta V \rightarrow 0} \frac{1}{2} \int_V \int_V k \frac{\rho(\vec{r}) \rho(\vec{r}') dV' dV}{|\vec{r} - \vec{r}'|} = \\ = \frac{1}{2} \int_V \varphi(\vec{r}) \rho(\vec{r}) dV' = -\frac{\varepsilon_0}{2} \int_V \varphi(\vec{r}) \nabla^2 \varphi(\vec{r}) dV' = -\frac{\varepsilon_0}{2} \int_V \varphi(\vec{r}) \left( \frac{\partial^2 \varphi}{\partial x^2} + \frac{\partial^2 \varphi}{\partial y^2} + \frac{\partial^2 \varphi}{\partial z^2} \right) dV' =$$

Dále využijeme upravený vzoreček pro derivaci součinu

$$(fg)' = f'g + fg'$$

$$f'g = fg' - (fg)'$$

$$\begin{aligned}
f &= \varphi' & g &= \varphi \\
&= -\frac{\varepsilon_0}{2} \int_V \left[ \frac{\partial}{\partial x} \left( \varphi \frac{\partial \varphi}{\partial x} \right) + \frac{\partial}{\partial y} \left( \varphi \frac{\partial \varphi}{\partial y} \right) + \frac{\partial}{\partial z} \left( \varphi \frac{\partial \varphi}{\partial z} \right) \right] dV' + \\
&+ \frac{\varepsilon_0}{2} \int_V \left[ \left( \frac{\partial \varphi}{\partial x} \right)^2 + \left( \frac{\partial \varphi}{\partial y} \right)^2 + \left( \frac{\partial \varphi}{\partial z} \right)^2 \right] dV' = -\frac{\varepsilon_0}{2} \int_V \nabla \cdot (\varphi \nabla \varphi) dV' + \frac{\varepsilon_0}{2} \int_V E^2 dV' = \\
&= -\frac{\varepsilon_0}{2} \oint_S (\varphi \nabla \varphi) d\vec{S} + \int_V \frac{\varepsilon_0 E^2}{2} dV' \xrightarrow{S \rightarrow \infty} W = \int_{\mathbb{R}^3} \frac{\varepsilon_0 E^2}{2} dV' = \int_{\mathbb{R}^3} w dV'
\end{aligned}$$

kde  $w$  je hustota energie elektrického pole.

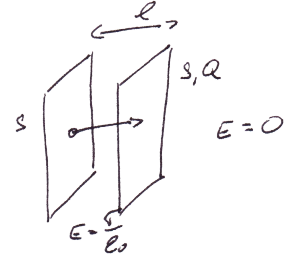
Mějme deskový kondenzátor o ploše  $S$ , vzdálenosti  $l$  nábojem  $Q$  a elektrickou intenzitou mezi deskami  $E = \frac{\sigma}{\varepsilon_0}$ , kde  $\sigma = \frac{q}{S}$ .

$$Fl = A(S) = -W(S)$$

kde  $A$  je práce.

$$-dW = Eldq = \frac{q}{S\varepsilon_0} l dq$$

$$|W| = \int_0^Q \frac{\sigma}{\varepsilon_0 S} q l dq = \frac{1}{2} \frac{Q^2}{\varepsilon_0 S} l = \frac{1}{2} E^2 \varepsilon_0 V = \int_V \frac{\varepsilon_0 E^2}{2} dV$$



## 4.7 Polarizace aneb dielektrikum v elektrostatickém poli

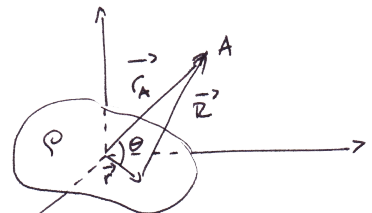
**Dielektrikum** je nevodič, materiál ve kterém nejsou žádné volné nosiče náboje (jako ve vodičích elektronů popřípadě díry).

Mějme útvar s hustotou náboje  $\rho$  a objemem  $V$ , bod  $A$  daný polohovým vektorem  $\vec{r}_A$  a vystředěním  $\vec{r}$ .

$$\vec{R} = \vec{r}_A - \vec{r}$$

$$\varphi = k \int_V \frac{\rho(\vec{r}) dV}{|\vec{r}_A - \vec{r}|}$$

$$|\vec{R}| = \sqrt{r_A^2 + r^2 - 2r_A r \cos \Theta} = r_A \left( 1 - 2 \frac{r}{r_A} \cos \Theta + \left( \frac{r}{r_A} \right)^2 \right)^{\frac{1}{2}} = r_A (1 + \alpha)^{\frac{1}{2}}$$



Dále použijeme approximaci pomocí Taylorova polynomu (1.7 str. 10)<sup>3</sup> pro  $\left| \frac{1}{\vec{R}} \right|$ , které později lépe uplatníme.

$$\left| \frac{1}{\vec{R}} \right| = \frac{1}{r_A} (1 + \alpha)^{-\frac{1}{2}} \doteq \frac{1}{r_A} \left( 1 - \frac{1}{2} \frac{\alpha}{(1 - \alpha)^{\frac{3}{2}}} + \frac{1}{2} \frac{3\alpha^2}{4(1 - \alpha)^{\frac{5}{2}}} + \dots \right) =$$

---

<sup>3</sup>Pozdě :-)

$$= \frac{1}{r_A} \left( 1 + \frac{1}{2} \left( 2 \frac{r}{r_A} \cos \Theta - \left( \frac{r}{r_A} \right)^2 \right) - \frac{3}{8} 4 \frac{r^2}{r_A^2} \cos^2 \Theta + \mathcal{O} \left( \frac{1}{r_A} \right)^3 \right)$$

kde  $\mathcal{O}(x) \equiv \exists k, f(x) < k, \forall x \in D_f$

$$\begin{aligned} \varphi &= k \int_V \frac{\rho(\vec{r})}{r_A} dV + k \int_V \frac{\rho(\vec{r}) \cos \Theta r}{r_A^2} dV + k \int_V \frac{\rho(\vec{r}) r^2}{2r_A^3} (3 \cos^2 \Theta - 1) dV = \\ &= |\vec{r} \cdot \vec{r}_A = rr_A \cos \Theta| = k \frac{Q}{r_A} + k \int_V \frac{\rho(\vec{r}) \vec{r} \cdot \vec{r}_A}{r_A^3} dV + k \int_V \frac{1}{2} \rho(\vec{r}) \left( \frac{3(\vec{r} \cdot \vec{r}_A)^2}{r_A^5} - \frac{r^2}{r_A^3} \right) = \\ &\quad = \varphi_0 + \varphi_1 + \varphi_2 + \dots \end{aligned}$$

Jedná se o multipólový rozvoj.  $\varphi_0$  označuje působení celkového náboje a ostatní členy jen posunutí (zpřesnění).

$$\varphi_1 = k \int_V \frac{\rho(\vec{r}) \vec{r} \cdot \vec{r}_A}{r_A^3} dV = k \frac{\vec{p} \cdot \vec{r}_A}{r_A^3}$$

kde  $\vec{p}$  nazýváme dipólový moment.

$$\begin{aligned} \varphi_2 &= k \int_V \frac{1}{2} \rho(\vec{r}) \left( \frac{3(\vec{r} \cdot \vec{r}_A)^2}{r_A^5} - \frac{r^2}{r_A^3} \right) = k \frac{1}{2r_A^5} \sum_{ij} \int_{V'} (3x_i x_j - \delta_{ij} r^2) \rho dV x_{Ai} x_{Aj} = \\ &= k \frac{1}{2r_A^5} \sum_{ij} Q_{ij} x_{Ai} x_{Aj} \end{aligned}$$

kde  $Q_{ij}$  je (symetrický) tenzor quadrpólového momentu.  $x_i$  a  $x_j$  jsou souřadnice  $\vec{r}$  a  $x_{Ai}$  a  $x_{Aj}$  jsou souřadnice  $\vec{r}_A$ .

#### 4.7.1 Dipól

$$\begin{aligned} \varphi &= k \frac{\vec{p} \cdot \vec{r}_A}{r_A^3} \quad E = -\nabla \varphi = \\ &= -k \left[ (\vec{p} \cdot \vec{r}) \nabla \left( \frac{1}{r^3} \right) + \frac{1}{r^3} \nabla (\vec{p} \cdot \vec{r}) \right] = k \left[ (\vec{p} \cdot \vec{r}) \left( -\frac{3\vec{r}}{r^5} \right) + \frac{\vec{p}}{r^3} \right] = k \left[ \left( \frac{3(\vec{p} \cdot \vec{r}) \vec{r}}{r^5} \right) - \frac{\vec{p}}{r^3} \right] \\ \vec{p} &= \int_V \rho(\vec{r}) \vec{r} dV = \sum_i q_i (\vec{r}_i + \vec{R}) \stackrel{\sum_i q_i = 0}{=} \sum_i q_i \vec{r}_i \end{aligned}$$

Mějme dipól o délce  $l$  složený z nábojů  $q$  a  $-q$  ve vzdálenostech  $\vec{r}$  a  $-\vec{r}$  od počátku soustavy souřadnic. S osou  $z$  svírá úhel  $\alpha$ . Na dipól působí elektrické pole ve směru osy  $z$ .

$$\vec{p} = q\vec{r} - (-q\vec{r}) = q2\vec{r}$$

$$\vec{F}_+ = q\vec{E} \quad \vec{F}_- = -q\vec{E}$$

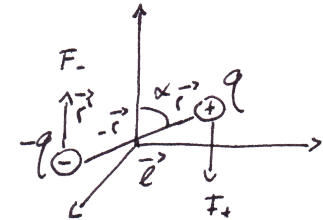
$$|N| = qEl \sin \alpha$$

kde  $N$  je moment síly.

$$\vec{N} = q\vec{l} \times \vec{E} = \vec{p} \times \vec{E}$$

$$dA = dx F = d\varphi N \quad \text{práce}$$

$$\vec{p} = \sum_i \vec{p}_i$$



$$W = \int_0^\alpha pE \sin \beta d\beta = -pE(\cos \alpha + 1) \doteq -pE \cos \alpha$$

$$dW = \vec{F} d\vec{s} = Fr d\varphi \cos \Theta = Nd\varphi$$

Mějme záporný náboj  $-q$  s polohou danou  $\vec{r}$  a kladný náboj  $q$  posunutý od  $-q$  o  $l$ .

$$\begin{aligned} \vec{F} &= \vec{F}_+ + \vec{F}_- = \vec{E}(\vec{r} + \vec{l}) q - \vec{E}(\vec{r}) q = \\ &= q\vec{E}(x + l_x; y + l_y; z + l_z) - q\vec{E}(x; y + l_y; z + l_z) + q\vec{E}(x; y + l_y; z + l_z) - \\ &\quad - q\vec{E}(x; y; z + l_z) + q\vec{E}(x; y; z + l_z) - q\vec{E}(x; y; z) \\ \vec{F} &\approx ql_x \frac{\partial \vec{E}}{\partial x} + ql_y \frac{\partial \vec{E}}{\partial y} + ql_z \frac{\partial \vec{E}}{\partial z} = p_x \frac{\partial \vec{E}}{\partial x} + p_y \frac{\partial \vec{E}}{\partial y} + p_z \frac{\partial \vec{E}}{\partial z} = (\vec{p} \cdot \nabla) \cdot \vec{E} \end{aligned}$$

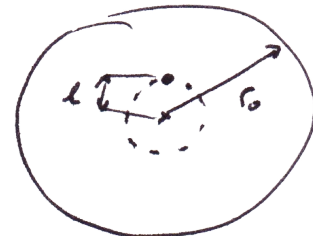
#### 4.7.2 Dipólové momenty atomů

Mějme navenek elektricky neutrální molekulu. Uvažujme jádro jako bodový náboj a obal jako kouli s rovnoměrným rozložením náboje  $\rho$ . Vzhledem k tomu, že je jádro uprostřed kulového rozložení, je výsledná síla nulová. Pokud umístíme onu molekulu do elektrického pole, začnou na jádro a na obal působit vzájemně opačné elektrické síly tak, že se jádro vychýlí ze středu obalu o vzdálenost  $l$ . Začne tak na něj silově působit i obal, a to silou závislou na poloměru  $l$  koule (nábojem  $q_s$ ), na které se nachází jádro. Vzdálenost  $l$  je právě taková, aby se vnitřní a vnější síly vyrušily.

$$\rho = \frac{q}{\frac{4}{3}\pi r_o^3}$$

$$q_s = \frac{4}{3}\pi l^3 \rho$$

$$F = k \frac{q_s q}{l^2} = qE$$



$$k \frac{q_s}{l^2} = E = k \frac{\frac{4}{3}\pi l^3 \frac{q}{\frac{4}{3}\pi r_o^3}}{l^2} = \frac{klq}{r_o^3} \quad kl = Er_o^3$$

$$q\vec{l} = \vec{E} 4\pi \epsilon_0 r_o^3 \quad \rightarrow \quad \vec{p} = \alpha \vec{E}$$

kde  $\alpha$  označuje polarizovatelnost.

#### 4.7.3 Objemově rozložený dipólový moment

Indukované momenty v molekulách bývají řádově menší než vlastní momenty molekul (např. voda apod.). Mějme rozptýlené dipólové momenty v prostoru rozděleném na elementy objemu  $\Delta V_i$ . Pak je  $\Delta\varphi_i$  příspěvek od příslušného  $\Delta V_i$  a  $\varphi_A$  celkový potenciál v bodě  $A$ .

$$\Delta\varphi = k \frac{p_{\Delta V_i} \vec{r}_i}{r_i^3}$$

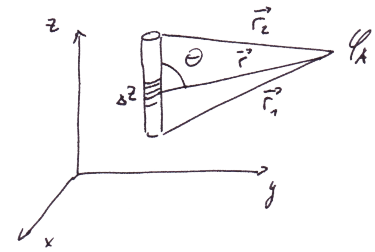
$$p_{\Delta V_i} = N_i \vec{p} \Delta V_i$$

kde  $N_i$  je objemová hustota dipólů.

Mějme tyčku ve směru osy  $z$  o průřezu  $S$  a bod  $A$  mimo tyčku. Rozdělme si tyčku na úseky  $\Delta z$  vzdálené  $r$  od  $A$ . Vzdálenost od dolního konce tyčky k  $A$  je  $r_1$  a od horního konce tyčky k  $A$  je  $r_2$ . Ozn.  $\Theta$  úhel mezi  $r$  a tyčkou.

$$\varphi_A = k \sum \frac{\Delta z N S p r \cos \Theta}{r^3} = k N p S \sum \frac{\Delta z \cos \Theta}{r^2} \xrightarrow{\Delta z \rightarrow 0}$$

$$\xrightarrow{\Delta z \rightarrow 0} |\Delta r| = -\Delta z \cos \Theta = -k N p S \int_{r_1}^{r_2} \frac{dr}{r^2} = k N p S \left( \frac{1}{r_2} - \frac{1}{r_1} \right)$$

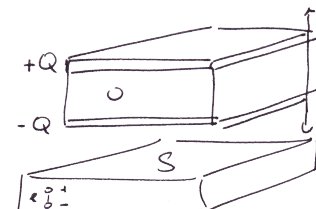


#### Vektor polarizace

- hustota dipólového momentu v daném místě.

Uvažujme dvě překrývající se krystalické mřížky. Jedna nese kladný náboj, druhá záporný. Při posunutí obou mřížek v opačném směru se na koncích celé soustavy vytvoří póly. Pak

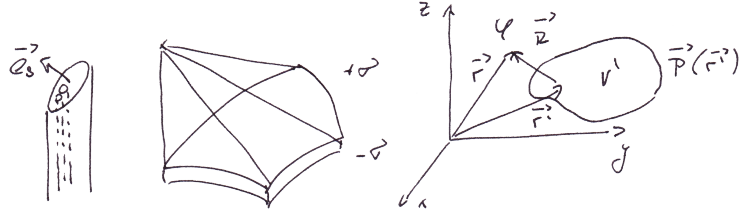
$$\vec{P} = \frac{\vec{p}}{\Delta V}$$



$$Q = q N S l = p N S = P S = \sigma S$$

Polarizaci definujeme (na základě měření) takto

$$\vec{P} = \lim_{\Delta V \rightarrow 0} \frac{\vec{P} \Delta V}{\Delta V} = N \vec{p}$$



$$\varphi = kPS \left( \frac{1}{r_2} - \frac{1}{r_1} \right)$$

Mějme polarizovanou desku plochy  $S$ , tloušťky  $l$ , hustotou dipólového momentu  $N$  a nejmenším nábojem  $q$ . Pak je náboj na jedné straně desky

$$Q_v = lSNq = NpS = PS \quad \rightarrow \quad P = \frac{Q_v}{S} = \sigma$$

kde  $\sigma$  je hustota povrchového náboje. Když nebudou dipólové momenty kolmé na plochu  $S$ , dostáváme vztah

$$\sigma = \vec{P} \cdot \vec{e}_S$$

kde  $\vec{e}_S$  je jednotkový vektor ve směru normály k  $S$ .

Mějme něco o objemu  $V'$  a polarizaci  $\vec{P}(\vec{r}')$  s polohovým vektorem  $\vec{r}'$  a nějaký bod mimo ono něco ve vzdálenosti  $\vec{r}$ .

$$\nabla \left( \frac{1}{R} \right) = -\frac{\vec{R}}{R^3} \quad \vec{R} = \vec{r} - \vec{r}' = (x - x'; y - y'; z - z') \quad \rho_V = -\nabla \vec{P}$$

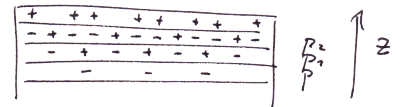
kde  $\rho_V$  je vázaný náboj.

$$\nabla \left( \vec{P} \frac{1}{R} \right) = \frac{\partial}{\partial x} \frac{P_x}{R} + \frac{\partial}{\partial y} \frac{P_y}{R} + \frac{\partial}{\partial z} \frac{P_z}{R} = \frac{1}{R} \nabla \vec{P} + \vec{P} \nabla \frac{1}{R}$$

$$\varphi(\vec{r}) = k \int_{V'} \frac{\vec{P}(\vec{r}') \cdot \vec{R}}{R^3} dV' = k \int_{V'} \nabla' \left( \vec{P} \frac{1}{R} \right) dV' - k \int_{V'} \frac{\nabla \vec{P}}{R} dV' = k \oint_{S'} \frac{\vec{P}}{R} d\vec{S}' + k \int_{V'} \frac{\rho_V}{R} dV'$$

kde  $S'$  je plocha ohraňující  $V'$ .

Mějme nehomogenní těleso takové, že hustota dipólového momentu je  $N(z)$ . Pak se mi vyruší jeden druh náboje témař v celém objemu až na jednu krajní vrstvu. Rozdělme si tedy ono těleso na vrstvy  $\Delta V = S\Delta z$



$$Q(\Delta V) = (P(z + \Delta z) - P(z)) S$$

$$\lim_{\Delta V \rightarrow 0} \frac{Q}{\Delta V} = \lim_{\Delta z \rightarrow 0} -\frac{P(z + \Delta z) - P(z)}{S\Delta z} S \approx -\frac{\partial P}{\partial z}$$

## Homogenně polarizovaná dielektrická koule

Mějme tedy kouli. Pak se na jejím povrchu polarizovaný náboj rozloží nerovnoměrně, a to jakoby byly koule dvě s opačnými náboji vzájemně posunuté.

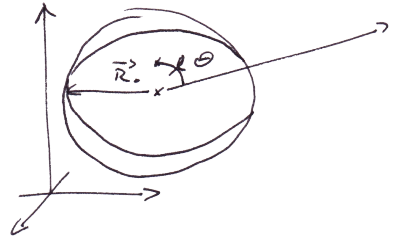
$$\vec{P} = \text{konst} \quad \vec{p} = q\vec{l}$$

$$\varphi_{vně} = k \frac{\vec{p} \cdot \vec{r}}{r^3} = k \frac{p \cos \Theta}{r^2}$$

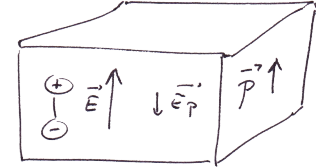
$$\nabla \cdot (\nabla \varphi_{vně}) = 0 \left( \frac{\rho}{\varepsilon_0} \right)$$

$$\varphi(r = R_0) = k \frac{\frac{4}{3}\pi R_0^3 P \cos \Theta}{R_0^2} = \frac{1}{3\varepsilon_0} R_0 P \cos \Theta = \frac{1}{3\varepsilon_0} P z$$

$$\nabla^2 \varphi = 0 \quad \varphi = \frac{Pz}{3\varepsilon_0}$$



Mějme dielektrikum v elektrostatickém poli o intenzitě  $\vec{E}_0$ . V dielektriku se vlivem momentů vytvoří pole o intenzitě  $\vec{E}_p$ . Tato intenzita oslabuje vnější elektrické pole působící na dielektrikum a tím oslabuje i sebe sama. Tím se opět zvýší intenzita vnějšího pole. Tak se začne harmonicky měnit elektrické pole až se ustálí na určité hodnotě  $\vec{E}$ .



$$\vec{E} = \vec{E}_0 - \vec{E}_p = \vec{E}_0 - \frac{\vec{P}}{\varepsilon_0}$$

$$\vec{P} = N\vec{p} = N\alpha\vec{E} = \varepsilon_0\chi\vec{E} = \varepsilon_0\chi\vec{E}_0 - \chi\vec{E}_p \quad \rightarrow \quad \vec{P} = \frac{\varepsilon_0\chi}{1+\chi}\vec{E}_0 \quad \vec{E} = \frac{\vec{E}_0}{1+\chi} = \frac{\vec{E}_0}{\varepsilon_r} \quad \varepsilon_r = 1+\chi$$

## Claudiův-Mosottiho vztah

$$E_{vně} = E + \frac{P}{3\varepsilon_0}$$

Pro Áčkaře povinné (viz skripta).

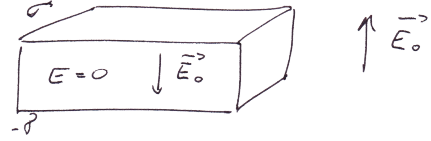
## Debyeův-Langevinův vztah

Řeší rotování dipólu kolem různých os.

## 4.8 Vodič v elektrostatickém poli

Mějme vodivou krychli v elektrostatickém poli tak, že její podstavy jsou kolmě na vnější pole o intenzitě  $\vec{E}$ . Vzhledem k tomu, že ve vodiči jsou volné nosiče náboje, se všechny volné náboje přemístí na jednu stranu danou vnějším polem. Dojde tak tedy k „polarizaci“ (není to polarizace, protože ve vodiči není vázaný náboj) vodiče. Na jedné straně se hromadí kladný a na druhé straně záporný náboj. Výsledné elektrostatické pole uvnitř vodiče pak má stejnou intenzitu, jako pole, které ji vyvolalo, ale jen opačně orientovanou. Uvnitř vodiče je tak výsledná elektrická intenzita nulová. Intenzita na povrchu bude přibližně

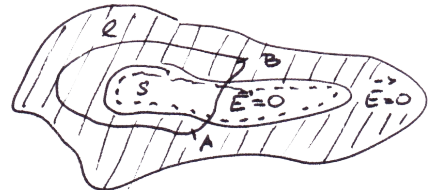
$$E_{povrch} \approx \frac{\sigma}{\epsilon_0}$$



kde  $\sigma$  je povrchová hustota náboje. Když se vodič náhle ocitne v elektrostatickém poli, nosiče náboje se začnou urychlovat, až narazí na povrch tělesa a odrazí se. Začnou tak tlumeně kmitat, až se nakonec ustálí v rovnovážné poloze.

Mějme nějaké obecné těleso s dutinou uvnitř. Nechť  $S$  uzavřená plocha uvnitř dutiny ohraničující objem jdoucí k objemu dutiny a  $l$  uzavřená křivka procházející dutinou. Pak platí

1.  $\oint_S \vec{E} dS = 0$  (uvnitř dutiny není náboj)
2.  $\int_A^B \vec{E} dl = 0 = A$  (práce vykonaná po křivce  $l$  je nulová)



z toho plyne, že i intenzita elektrostatického pole uvnitř dutiny musí být nulová.

Máme

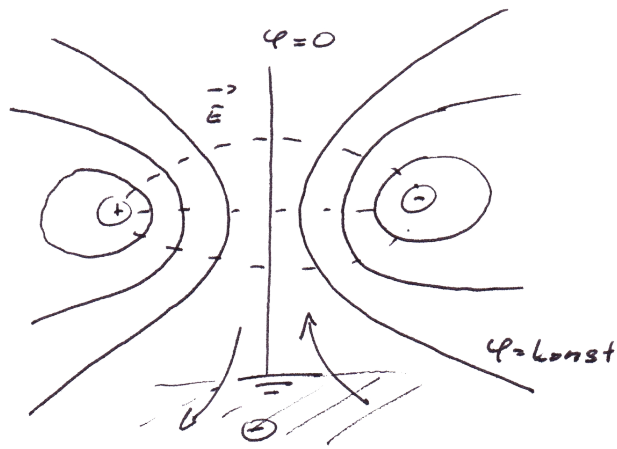
$$\vec{P} = \lim_{\Delta V \rightarrow 0} \frac{\vec{p} \Delta V}{\Delta V}$$

Když na vodič přivedeme náboj, rozprostře se po povrchu tak, aby  $\varphi = konst$ . Když do jeho blízkosti přiblížíme další vodič, náboj se na něm rozprostře tak, aby  $\varphi = konst$ , tedy volné nosiče náboje se přesunou na stranu od resp. k druhému tělesu podle znamének náboje.

## 4.9 Elektrostatické zobrazení

Mějme dva opačně nabité náboje. V jejich okolí se vytvoří hladiny konstantního potenciálu, přičemž v poloviční vzdálenosti mezi nimi se vytvoří rovina s nulovým potenciálem. Když tuto rovinu proložíme kovovou uzemněnou deskou, bude se na ní indukovat takový náboj, aby na ní zůstal nulový potenciál, a to i při změně polohy jednoho z nábojů.

Když jeden z oněch nábojů odstraníme, naindukuje se na desce nenulový náboj tak, aby na ní zůstal nulový potenciál. Na druhé straně desky se mi na místě odstraněného

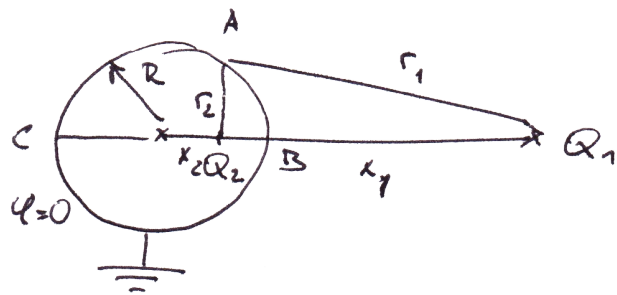


náboje vytvoří fiktivní náboj. Celá soustava se tak chová, jakoby na druhé straně zůstal již odstraněný náboj.

Když by deska uzemněná nebyla, vytvářel by se na desce konstantní, ale ne nutně nulový, potenciál, jehož velikost je závislá na poloze desky mezi náboji. Tento potenciál pak deformuje elektrické pole mezi oběma náboji.

Když bych měl libovolné uzemněné těleso v okolí jiného neuzemněného a nabitého tělesa, vytváří se na něm nulový potenciál.

### Kulové zobrazení



Mějme uzemněnou kouli o poloměru  $R$  se středem v počátku soustavy souřadnic. Na jejím povrchu se vytvoří nulový potenciál  $\varphi$ . Dále mějme náboj  $Q_1$  ve vzdálenosti  $x_1$  od středu koule. Pak se nám bude v kouli indukovat fiktivní náboj  $Q_2$  ve vzdálenosti  $x_2$  od středu. Vemme si body  $A [R; \varphi]$ ,  $B [R; 0]$ ,  $C [R; \pi]$ . Vzdálenost  $A$  od nábojů  $Q_1$  (resp.  $Q_2$ ) označme  $r_1$  (resp.  $r_2$ ).

$$\varphi_B = 0 = k \frac{Q_1}{x_1 - R} - k \frac{Q_2}{R - x_2}$$

$$\varphi_C = 0 = k \frac{Q_1}{R + x_1} - k \frac{Q_2}{R + x_2}$$

Když z každé rovnice vyjádřím poměr nábojů, získám

$$\frac{|Q_1|}{|Q_2|} = \frac{x_1 - R}{R - x_2} = \frac{x_1 + R}{R + x_2}$$

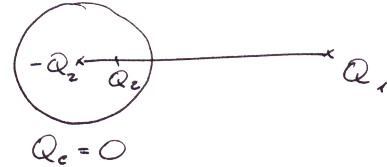
Roznásobením této rovnice a následnou úpravou získám  $x_1 x_2 = R^2$ . Snásobením obou poměrů nábojů dostanu

$$\frac{Q_1^2}{Q_2^2} = \frac{x_1^2 - R^2}{R^2 - x_2^2} = \frac{x_1}{x_2} \frac{x_1 - x_2}{x_1 + x_2} = \frac{x_1}{x_2}$$

Když pak vyjádříme  $Q_2$

$$Q_2 = \sqrt{Q_1^2 \frac{x_1}{x_2}} = \sqrt{Q_1^2 \frac{x_1 x_2}{x_2^2}} = \sqrt{Q_1^2 \frac{R^2}{x_2^2}} = -Q_1 \frac{R}{x_2}$$

Pro uzemněnou kouli by pak platilo  $Q_c = Q_2 + (-Q_2)$ . Pokud bych měl koule dvě, dojde k nerovnoměrnému rozdělení náboje.



## 4.10 Kondenzátor

Mějme dvě desky o rozměrech  $a \times b$  a ploše  $S$ , povrchových nábojích  $\sigma$  a  $-\sigma$  a potenciálech  $\varphi_1$  a  $\varphi_2$ , ve vzdálenosti  $z$ .

$$\sigma \approx \frac{z}{S} \quad a, b \gg z$$

$$E = \frac{\sigma}{\varepsilon_0} \quad (\text{skoro všude})$$

$$U = \varphi_1 - \varphi_2 = Ez = \frac{\sigma}{\varepsilon_0} z = \frac{Q}{\varepsilon_0 S} z$$

Zaved'me si kapacitu

$$C = \frac{Q}{U} = \frac{\varepsilon_0 S}{z}$$

$$S_{ef} = \left( a + \frac{3}{8} z \right) \left( b + \frac{3}{8} z \right)$$

## Energie kondenzátoru

$$W = Vw = Sz \frac{\varepsilon_0 E^2}{2} = \frac{1}{2} \frac{S\varepsilon_0}{z} z^2 E^2 = \frac{1}{2} CU^2 = \frac{1}{2} \frac{Q^2}{C}$$

kde  $w$  je hustota energie. Síla je pak

$$\vec{F} = -\nabla W$$

Mějme soustavu (dejme tomu tří) nabitých objektů (s náboji  $Q_k$ ).

$$\varphi_1 = B_{11}Q_1 + B_{12}Q_2 + B_{13}Q_3 + \dots$$

$$\varphi_2 = B_{21}Q_1 + B_{22}Q_2 + B_{23}Q_3 + \dots$$

kde  $B_{ii}$  jsou potenciálové koeficienty

$$Q_1 = C_{11}\varphi_1 + C_{12}\varphi_2 + \dots$$

$$Q_2 = C_{21}\varphi_1 + C_{22}\varphi_2 + \dots$$

$$Q'_i = Q_i t \quad \Delta Q'_i = Q_i \Delta t \quad \varphi'_i t$$

kde  $t$  je parametr  $t \in \langle 0; 1 \rangle$ . Pak je energie této soustavy

$$\begin{aligned} W &= \lim \sum_i \sum_{\Delta} \varphi'_i \Delta Q'_i = \sum_i \int_0^1 \varphi'_i Q_i dt = \sum_i \int_0^1 \varphi_i Q_i t dt = \frac{1}{2} \sum_i \varphi_i Q_i = \\ &= \frac{1}{2} \sum_i \left( \sum_j C_{ij} \varphi_j \right) \varphi_i = \frac{1}{2} \sum_{i,j} C_{ij} \varphi_i \varphi_j \end{aligned}$$

Mějme tedy vodič v elektrostatickém poli. Ve vodiči se indukuje elektrostatické pole, jehož intenzita se vyruší s intenzitou vnějsího pole. Výsledná kapacita tak vzroste o tloušťku onoho vodiče. Když bude  $l$  vzdálenost desek, pak

$$El = U \quad \frac{Q}{U} = \frac{Q}{El}$$

V případě dielektrika se výsledná kapacita zachová podobně, ale vzroste jen úměrně k relativní permitivitě  $\varepsilon_r$ .

## 4.11 Elektrostatické pole v dielektriku

$$\begin{aligned}\rho_{celkova} &= \rho_{volne} + \rho_{polarizovane} \\ \nabla \cdot \vec{E} &= \frac{\rho_c}{\varepsilon_0} \quad \rho_p = -\nabla \cdot \vec{P} \quad \varepsilon_0 \nabla \cdot \vec{E} = (\rho_v - \nabla \cdot \vec{P}) \\ \nabla \cdot (\varepsilon_0 \vec{E} + \vec{P}) &= \rho_v = \nabla \cdot \vec{D}\end{aligned}$$

kde  $\vec{D}$  je vektor elektrostatické indukce.

$$\vec{D} = \varepsilon_0 \vec{E} + \vec{P} = \varepsilon_0 \vec{E} + \varepsilon_0 \chi \vec{E} = \varepsilon_0 \varepsilon_r \vec{E}$$

$$\nabla \cdot \vec{D} = \rho$$

což je další z Maxwellek.

Pro nehomogenní látky se využívá tenzor relativní permitivity  $\varepsilon_{ij}$ , k nim se řadí například opticky aktivní látky. Ve vakuu  $\varepsilon_r = 1$

$$E = \frac{k}{\varepsilon_r} \frac{q}{r^2}$$

# 5 Stacionární elektrické pole

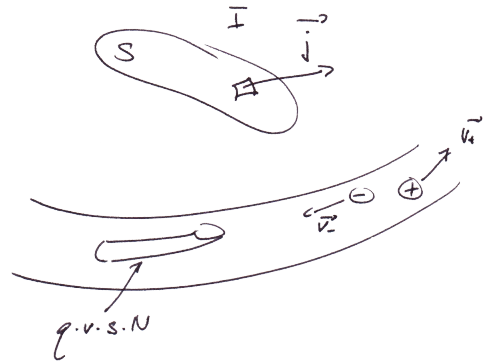
Oproti elektrostatickému poli už zde existuje pohyb nábojů. Tento pohyb však zůstává stále stejný a ani elektrické pole se nemění.

## 5.1 Elektrický proud

$$I = \lim \frac{\Delta Q}{\Delta t}$$

Protože se samotný elektrický proud hodí spíše do technické praxe a neříká skoro nic o samotném pohybu náboje, zavádí se hustota proudu. Mějme plochu  $S$  tak, že  $S = \int dS$ , kteroužto teče proud  $I$ . Ozn.  $\vec{j}$  hustotu náboje.

$$\vec{j} = \lim_{\substack{j=\max \\ \Delta S \rightarrow 0}} \frac{\Delta I}{\Delta S} e_{\perp}$$



Když budeme mít vodič, v němž se pochybují nosiče s kladným i záporným nábojem, bude výsledný proud součtem proudů obou nábojů. Proud můžeme psát jako

$$I = qvSN$$

kde  $q$  je náboj jednotlivých nosičů,  $N$  počet nosičů proteklý plochou  $S$  při rychlosti  $v$  (jinak řečeno hustota nosičů náboje). Takže

$$\vec{j} = qN\vec{v} = \rho\vec{v}$$

kde  $\rho$  je hustota pohybujícího se náboje.

$$j = |\rho_+ v_+| + |\rho_- v_-| \quad \vec{j} = \rho_+ \vec{v}_+ + \rho_- \vec{v}_-$$

### 5.1.1 Druhy proudů

- Volné - vodivostní
- Vázané - polarizační, vznikají působením elektrického pole na dielektrikum do ustálení rovnováhy.

$$\vec{j}_p = Nq\vec{v} = Nq \frac{d\vec{l}}{dt} = \frac{\partial Nql}{\partial t} = \frac{\partial \vec{P}}{\partial t}$$

parciálně lze psát, protože se nepředpokládá změna geometrické konfigurace.

- Konvenční - pohyby iontů
- Maxwellův proud - fiktivní proud tekoucí kondenzátorem bez dielektrika (v obvodu se střídavým proudem)

### 5.1.2 Uzavřená plocha a smyčka

$$I = \oint_S \vec{j} d\vec{S} = \frac{dQ}{dt} = \frac{d}{dt} \left( - \int_V \rho dV \right) = - \int \frac{\partial \rho}{\partial t} dV \stackrel{Gauss}{=} \int_V \nabla \cdot \vec{j} dV$$

$$\nabla \cdot \vec{j} = - \frac{\partial \rho}{\partial t}$$

v případě stacionárního pole  $\nabla \cdot \vec{j} = 0$

V případě uzavřené smyčky

$$\nabla \times \vec{E} = 0 \quad \nabla \cdot \vec{E} = \frac{\rho}{\varepsilon_0}$$

mimo proud. Jinak by docházelo ke ztrátám energie a proud by nebyl stacionární.

## 5.2 Ohmův zákon

$$U = IR$$

(neplatí ve všech prostředích, např. supravodiče) kde  $R$  je elektrický odpor. Vztah pro proud můžeme psát

$$I = GU \quad \text{kde} \quad G = \frac{1}{R} \quad \text{je vodivost}$$

$$R = \rho \frac{l}{S} \quad G = \sigma \frac{S}{l}$$

kde  $\rho$  je měrný odpor (rezistivita) - odpor krychle o hraně 1 m - a  $\sigma$  je konduktivita.

$$I = \frac{U}{R} = \frac{U}{\rho \frac{l}{S}}$$

$$j = \frac{\Delta I}{\Delta S} = \frac{1}{\rho} \frac{U}{l} = \sigma E$$

$$U = \int_l \vec{E} d\vec{l} = RI$$

$$\rho \frac{l}{S} \int_S \vec{j} d\vec{S} = \int_l \vec{E} d\vec{l}$$

$$\rho \frac{l}{S} \langle j \rangle \int_{\vec{S} \parallel \vec{j}} dS = \langle E \rangle \int_l d\vec{l}$$

$$\rho \langle j \rangle = \langle E \rangle \left/ \lim_{\substack{S \rightarrow 0 \\ l \rightarrow 0}} \right.$$

$$\xrightarrow{\vec{j} \parallel \vec{E}} \vec{j} = \sigma \vec{E}$$

$$I = \frac{dQ}{dt} \quad \vec{j} = \left( \lim_{\Delta S \rightarrow 0} \frac{\Delta I}{\Delta S} e_{\perp} \right)_{max} \quad (\text{na plochu, kde je } \vec{j} \text{ maximální})$$

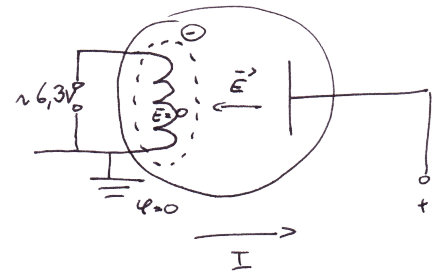
$$I = \int_S \vec{j} d\vec{S} = -\frac{dQ}{dt} \Rightarrow \nabla \cdot \vec{j} = -\frac{\partial \rho}{\partial t}$$

### 5.3 Fotonka

Fotonka je skleněná baňka s vakuem a dvěma elektrodami, přičemž záporná elektroda je žhavená (standardně 6,3 V). Žhavením se v jejím okolí vytvoří elektronový oblak (volné nosiče náboje). Vybuzené elektrony jsou pak urychlovány ke kladné elektrodě. Vzhledem k tomu, že se volné elektrony uvolňují jen na jedné z elektrod, může fotonkou protékat proud jen jedním směrem (lze ji tedy využít jako usměrňovač). Protože je záporná elektroda obklopena volnými elektrony, můžeme uvažovat elektrickou intenzitu na jejím povrchu nulovou.

Na žhavené elektrodě se vytváří nulový potenciál a na kladné elektrodě je potenciál  $\varphi$ . Intenzita  $E$  mezi elektrodami působí ve směru od té kladné. Pro energii elektronů pak platí

$$\frac{1}{2} m_e v^2 = \frac{3}{2} kT$$



$$\frac{\partial^2 \varphi}{\partial x^2} = -\frac{\rho}{\varepsilon_0} \quad j_x = -v\rho \quad \frac{1}{2} m_e v^2 = e\rho \quad j_x = \text{konst} \quad \varphi(0) = 0, E(0) = 0$$

Když to do sebe vzájemně dosadíme, dostaneme

$$\frac{\partial^2 \varphi}{\partial x^2} = \frac{j_x}{\varepsilon_0} \sqrt{\frac{m_e}{2e}} \frac{1}{\sqrt{\varphi}} \Rightarrow I = U^{\frac{3}{2}} = \text{konst}$$

$$\varphi'' \sim \frac{1}{\sqrt{\varphi}}$$

### 5.4 Elektromotorické napětí

„Napětí naprázdno“; to, co „žene“ proud obvodem. Značíme ho  $\varepsilon$ . Uvažujme ustálený proud

$$\frac{\partial j}{\partial t} = 0$$

Elektrický obvod:

1. uzavřený -  $U$  je rozdíl potenciálů
2.  $I = f(U)$  - dodávám energii ( $\times$  supravodiče)

$$q\varepsilon = \oint_l \vec{F} d\vec{l} \quad (\text{bodový zdroj})$$

Zdroj napětí je charakterizován svým elektromotorickým napětím a vnitřním odporem. Výsledný zdroj si pak můžeme představit jako zdroj složený z ideálního zdroje s napětím  $\varepsilon$  a k němu sériově zapojeným odporem  $R_i$ . Výsledné svorkové napětí pak bude

$$U = \varepsilon - R_i I$$

Tady můžu odkázat na obrázek 3.9 ze skript (u mě na str. 103)<sup>4</sup>, který jsem sice moc nepochopil, ale ukazovali jsme si ho na přednášce a něco na něm je. Když z něj vyjdu, tak

$$\varepsilon = \varphi_1 - \varphi'_1 + \varphi_2 - \varphi'_2$$

Když budu mít zdroj a k němu připojený odpor  $R$ , tak

$$\varepsilon = (R_i + R)I$$

tedy součet úbytků napětí na obou odporech  $R$  a  $R_i$ .

## 5.5 Kirhoffova pravidla

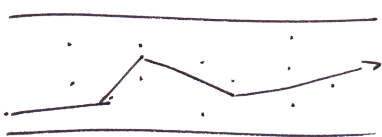
Pojednávají o vlastnostech závislostí v obvodech. Jsou dvě:

1.  $\sum I_\alpha = 0$  pro proudy vtékající a vytékající z uzlů
2.  $\sum R_\alpha I_\alpha = \sum \varepsilon_\alpha$  v libovolné smyčce, ve zvoleném směru  
 $\sim$  zákon zachování energie

## 5.6 Klasická teorie vodivosti

Předpokládejme  $\langle U \rangle = \text{konst}$ . Elektron se ve vodiči pohybuje svojí tepelnou rychlostí ( $v_t \approx 10^7 \text{ m}\cdot\text{s}^{-1}$ ) a naráží do jader, která potká po cestě. Tím se odráží a vychyluje z dráhy. Výsledná unášivá rychlosť se pak pohybuje někde kolem  $u \approx 10^{-4} \text{ m}\cdot\text{s}^{-1}$ . Předpokládáme, že platí Ohmův zákon ( $\times$  supravodiče). Práce vykonaná pole je pak

$$A = qU$$




---

<sup>4</sup>Nevím tady, ale u mechaniky se mi trochu lišila třeba čísla příkladů.

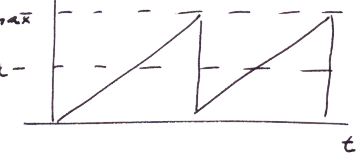
$$\frac{1}{2}m_e v_t^2 = \frac{3}{2}kT \quad (\text{z definice teploty - kinetická teorie})$$

$$\vec{j} = nq\vec{u} = \sigma\vec{E}$$

kde  $n$  je hustota nosičů a  $q$  náboj nosiče.

$$E = \frac{nqu}{\sigma} \quad \left\langle \vec{F} \right\rangle = m \langle \vec{a} \rangle = q\vec{E} + \vec{F}_2 = 0 \quad \Leftrightarrow \quad \left( \vec{j} = \text{konst} \Rightarrow u = \text{konst} \right)$$

Když si vyneseme závislost rychlosti na čase, dostaneme pilovité píky s výškou  $v_{max}$  se střední hodnotou  $u$ . Tyto píky se budou opakovat s periodou  $\tau$ , a to podle toho, kdy po hyující se elektron narazí do nějakého jádra. Ozn.  $\nu = \tau^{-1}$  frekvenci srážek,  $\nu \sim v_t$ .



$$qE = 2mu\nu \Rightarrow \sigma = \frac{1}{2}q^2n\frac{1}{m\nu} \quad \left( E = \frac{nqu}{\sigma} \right)$$

$$\nu = \frac{v_t}{\lambda} \rightarrow \sigma = \frac{1}{2}\frac{g^2n\lambda}{mv_t} \quad R \sim \sqrt{T} \sim v_t$$

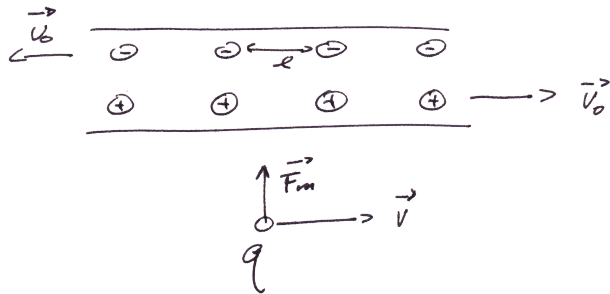
+ (snad jenom) pro Áčkaře:

- Feynman - Kinetická teorie
- Bolzmannova atmosféra
- skripta

## 6 Vznik magnetického pole

Vzhledem k tomu, že elektrická síla je o mnoho řádů silnější než síla gravitační, se mnohem výrazněji projevují relativistické jevy.

### 6.1 Pohyb nabité částice v okolí vodiče s proudem



Mějme drát, kterým protéká proud (uvažujme pohyb i kladných i záporných nábojů). Podél onoho drátu prolétá nabité částice (prozatím rovnoběžně) rychlostí  $v$ , ve vzdálenosti  $r$  od drátu. Pro lepší představu možná může být vhodnější si představit drát jako dva řetízky nesoucí opačné náboje a pohybující se opačným směrem, a to rychlostí  $v_0$ . Vzdálenost nábojů je  $l$ . Ozn.  $\tau$  lineární hustotu náboje, tedy náboj rozložený na nějakou vzdálenost.

Vlivem kontrakce délky se bude prolétající částici jevit jeden z „řetízků“ hustší než ten druhý. Drát se tak jeví jako elektricky nabité a začne silově působit na prolétající částici.

Uvažujme tedy souhlasný směr proudu v drátu a pohybu částice. Ozn.  $\tau_0$  hustotu kladného i záporného náboje v drátu, když neprotéká proud,  $\tau_+$  a  $\tau_-$  hustotu nábojů v drátu, když proud protéká, a  $\tau'_+$  a  $\tau'_-$  transformovanou hustotu náboje vzhledem k prolétající částici,  $v'_+$  a  $v'_-$  relativisticky složené rychlosti  $v$  a  $v_0$ ,

$$\gamma_{\square}^{\triangle} = \frac{1}{\sqrt{1 - \frac{v_{\square}^{\triangle 2}}{c^2}}} \quad \beta_{\square}^{\triangle} = \frac{v_{\square}^{\triangle}}{c}$$

toto značení budu používat i v dalších kapitolkách. Pak platí (podle (6) na straně 17)

$$v'_- = \frac{v_0 + v}{1 + \frac{v_0 v}{c^2}} \quad v'_+ = \frac{v_0 - v}{1 - \frac{v_0 v}{c^2}}$$

$$\tau_0 = \frac{\tau_+}{\gamma_0} = \frac{\tau_-}{\gamma_0}$$

$$\tau'_+ = \tau_0 \gamma'_+ = \tau_+ \frac{\gamma'_+}{\gamma_0} \quad \tau'_- = \tau_0 \gamma'_- = \tau_- \frac{\gamma'_-}{\gamma_0} \quad |\tau_+| = |\tau_-|$$

$\tau'_+$  a  $\tau'_-$  si pak můžeme vyjádřit

$$\begin{aligned}\tau'_{\pm} = \tau_0 \gamma'_{\pm} &= \frac{\tau_0}{\sqrt{1 - \frac{v_{\pm}^2}{c^2}}} = \frac{\tau_0}{\sqrt{1 - \left(\frac{v_0 \mp v}{c}\right)^2}} = \frac{\tau_0}{\sqrt{\frac{c^2 - v^2 - \left(v_0^2 - \frac{v_0^2 v^2}{c^2}\right)}{c^2 + 2v_0 v + \frac{v_0^2 v^2}{c^2}}}} = \frac{\tau_0}{\sqrt{\frac{c^2 \gamma^{-2} - v_0^2 \gamma^{-2}}{c^2 (1 \mp \frac{v_0 v}{c^2})^2}}} = \tau_{\pm} \gamma \left(1 \mp \frac{v_0 v}{c^2}\right) \\ \tau'_+ + \tau'_- &= \tau_+ \gamma \left(1 - \frac{v_0 v}{c^2}\right) + \tau_- \gamma \left(1 + \frac{v_0 v}{c^2}\right) = -2 |\tau_+| \frac{\gamma v_0 v}{c^2} \\ E' &= -\frac{\tau_+ v_0 v}{\pi \epsilon_0 r c^2} \gamma = -\frac{I}{2\pi c^2 \epsilon_0 r} \gamma = -\frac{I \mu_0}{2\pi r} \gamma \\ E_{ef} &= -\frac{\mu_0 v I}{\pi r} = -Bv \quad |F| = |qvB|\end{aligned}$$

## Kondenzátor

Mějme desky kondenzátoru v osách

1.  $y$  a  $z$  a ve směru  $x$  jím začneme pohybovat. Pak se vlivem kontrakce délek zmenší vzdálenost desek a  $U' < U$ .
2.  $x$  a  $z$  a ve směru  $x$  jím začneme pohybovat. Pak se vlivem kontrakce délek zmenší plocha kondenzátoru a  $E' > E$ .

$$E'_y = E_y \gamma$$

## 6.2 Vzájemné působení nábojů

Mějme dva náboje  $Q$  a  $q$ . Uvažujme následující situace:

1. Oba v klidu

$$\vec{F}_e = k \frac{qQ}{r^3} \vec{r}$$

2. Celá soustava v pohybu (vzájemně jsou v klidu) - náboj je invariantní

$$\vec{F}_e = k \frac{qQ}{r^3} \vec{r}$$

3.  $Q$  v pohybu a  $q$  v klidu

Mějme  $Q$  v počátku soustavy  $S'$  pohybující se rychlostí  $\vec{v}$ . V klidové soustavě  $S$  je  $q$  od  $Q$  vzdálen  $\vec{r}$  se směrnicí (vůči ose  $x$ )  $\Theta$ . Na  $q$  působí intenzita  $\vec{E} = (E_x; E_y)$ . Totéž, ale čárkovaně, platí v  $S'$ .

$$o = o' \quad t = t' = 0$$

$$E'_x = \frac{Q}{4\pi\varepsilon_0} \frac{x'}{r'^3} = kQ \frac{\gamma x}{r'^3}$$

$$E'_y = \frac{Q}{4\pi\varepsilon_0} \frac{y'}{r'^3} = kQ \frac{y}{r'^3}$$

$$\frac{E'_x}{E'_y} = \frac{x'}{y'} \quad \frac{E_x}{E_y} = \frac{x}{y}$$

což naznačuje, že se jedná o radiální pole.

$$r'^3 = ((\gamma x)^2 + y^2)^{\frac{3}{2}}$$

$$\vec{E} = \gamma k Q \frac{\vec{r}}{r'^3}$$

$$\begin{aligned} E^2 &= \vec{E} \cdot \vec{E} = \frac{Q^2 \gamma^2}{(4\pi\varepsilon_0)^2} \frac{x^2 + y^2}{(y^2 + \gamma^2 x^2)^3} = (kQ)^2 \frac{\gamma^2 r^2}{\gamma^6 \left(\frac{y^2}{\gamma^2} + x^2\right)^3} = (kQ)^2 \frac{\left(1 - \frac{v^2}{c^2}\right)^2 r^2}{r^6 \left(\frac{\sin^2 \Theta}{\gamma^2} + \cos^2 \Theta\right)^3} = \\ &= (kQ)^2 \frac{\left(1 - \frac{v^2}{c^2}\right)^2}{r^4 \left(\frac{\sin^2 \Theta}{\gamma^2} + 1 - \sin^2 \Theta\right)^3} = (kQ)^2 \frac{\left(1 - \frac{v^2}{c^2}\right)^2}{r^4 \left(1 - \frac{v^2}{c^2} \sin^2 \Theta\right)^3} \\ &\Rightarrow E = Qk \frac{1}{r^2} \frac{1 - \frac{v^2}{c^2}}{\left(1 - \frac{v^2}{c^2} \sin^2 \Theta\right)^{\frac{3}{2}}} \quad \Rightarrow \quad \vec{E} = \Gamma k \frac{Q}{r^3} \vec{r} \end{aligned}$$

kde  $\Gamma$  je

$$\Gamma(\Theta = 0) = \frac{1}{\gamma^2} \quad \Gamma\left(\Theta = \frac{\pi}{2}\right) = \gamma$$

$$\Phi = \oint_S \vec{E} d\vec{S} = \frac{Q}{\varepsilon_0}$$

#### 4. Oba náboje v pohybu

Mějme zase dvě soustavy  $S$  a  $S'$ ... kde  $Q$  je v počátku  $S'$  pohybující se rychlostí  $v$  a  $q$  se pohybuje rychlostí  $u$ . Pak

$$\vec{F}' = q\vec{E}' = q \frac{Q}{4\pi\varepsilon_0} \frac{\vec{r}'}{r'^3}$$

$$\begin{aligned} \vec{F} &= (1 - \gamma) \frac{\vec{F}' \cdot \vec{v}}{v} \frac{\vec{v}}{v} + \gamma \vec{F}' + \frac{\gamma}{c^2} \left( \vec{u} \times (\vec{v} \times \vec{F}') \right) = \\ &= k \frac{qQ}{r'^3} \left[ (1 - \gamma) \frac{\vec{r}' \cdot \vec{v}}{v} \frac{\vec{v}}{v} + \gamma \vec{r}' + \frac{\gamma}{c^2} \left( \vec{u} \times (\vec{v} \times \vec{r}') \right) \right] = \end{aligned}$$

$$\begin{aligned}
&= k \frac{qQ}{r'^3} \left[ (1 - \gamma) (x'; 0; 0) + \gamma (x'; y'; z') + \frac{\gamma}{c^2} (\vec{u} \times (\vec{v} \times \vec{r}')) \right] = \\
&= k \frac{qQ}{r'^3} \left[ (x'; \gamma y'; \gamma z') + \frac{\gamma}{c^2} (\vec{u} \times (\vec{v} \times \vec{r}')) \right] = k \frac{qQ}{r'^3} \gamma \left[ \left( \frac{x'}{\gamma}; y'; z' \right) + \frac{1}{c^2} (\vec{u} \times (\vec{v} \times \vec{r}')) \right] = \\
&= k \frac{qQ}{r'^3} \gamma \left[ \vec{r} + \frac{1}{c^2} (\vec{u} \times (\vec{v} \times \vec{r}')) \right] = q \vec{E} + k \frac{qQ}{r'^3 c^2} \gamma (\vec{u} \times (\vec{v} \times \vec{r}')) =
\end{aligned}$$

kde  $E$  je intenzita vyvolaná pohybujícím se nábojem v soustavě v klidu

$$= q \vec{E} + k \frac{q\gamma}{c^2} (\vec{u} \times (\vec{v} \times \vec{E}'))$$

Když nyní použijeme poznatky z chování pohybujícího se kondenzátoru, tj.

$$\gamma E'_y = E_y \quad \gamma E'_z = E_z \quad E'_x = E_x$$

dostaneme

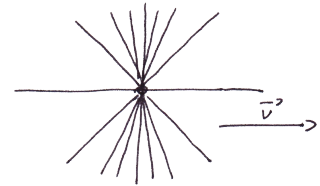
$$\begin{aligned}
\vec{F} &= q \vec{E} + \frac{q\gamma}{c^2} \left( \vec{u} \times \left( (v; 0; 0) \times \left( E_x; \frac{E_y}{\gamma}; \frac{E_z}{\gamma} \right) \right) \right) = \\
&= q \vec{E} + \frac{q}{c^2} (\vec{u} \times (0; -v E_z; v E_y)) = q \vec{E} + \frac{q}{c^2} (\vec{u} \times (\vec{v} \times \vec{E}))
\end{aligned}$$

což je Lorentzova síla. Magnetickou indukci si můžeme vyjádřit následovně

$$\vec{B} = \frac{1}{c^2} (\vec{v} \times \vec{E}) \approx \frac{kQ}{c^2 r^3} (\vec{v} \times \vec{r}) = \frac{\mu_0}{4\pi} Q \frac{\vec{v} \times \vec{r}}{r^3}$$

kde  $\mu_0 = 4\pi \cdot 10^{-7}$  H·m<sup>-1</sup> a  $[B] = \text{T}$

Když mám náboj v klidu, vychází (resp. vchází) z něj siločáry radiálně rovnoměrně rozprostřené. Když se však začne pohybovat, tak v okolí směru pohybu zřídnou a naopak zhoustnou v okolí normály ke směru pohybu.



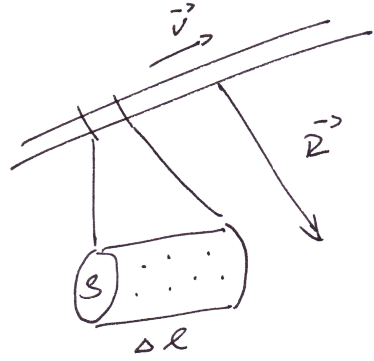
### 6.3 Biotův-Savartův zákon

Mějme vodič (drát) s proudem o průřezu  $S$  naporcováný na  $\Delta l$ ,  $\vec{R}$  vzdálenost našeho bodu, ve kterém hledáme magnetickou indukci. Ozn.  $q$  velikost jednotlivých nábojů,  $n$  jejich hustotu,  $\rho$  jejich hustota když se pohybují. Uvažujme  $\Delta l \parallel \vec{v}$ . Vyjdeme ze vztahu pro magnetickou indukci

$$\vec{B} = \frac{Q\mu_0}{4\pi r^3} (\vec{v} \times \vec{r})$$

Dostáváme tedy

$$\Delta \vec{B}_{\Delta l} = \frac{Q\mu_0}{4\pi} \frac{\vec{v} \times \vec{R}}{R^3}$$



$$\Delta \vec{B} = \frac{\mu_0}{4\pi} \rho v S \frac{d\vec{l} \times \vec{R}}{R^3} / \lim_{\Delta l \rightarrow 0}$$

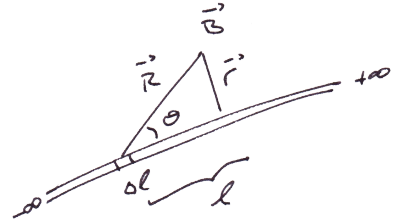
$$\vec{B} = \sum \Delta \vec{B} = \frac{\mu_0}{4\pi} I \int \frac{d\vec{l} \times \vec{R}}{R^3}$$

$$\rho \vec{v} = \vec{j} \quad \rightarrow \quad \vec{B} = \frac{\mu_0}{4\pi} \int \frac{\vec{j} \times \vec{R}}{R^3} dV$$

## 6.4 Magnetické pole v okolí nekonečného drátu s proudem

Mějme nekonečný drát, kterým protéká proud  $I$ , a bod ve vzdálenosti  $r$ . Rozdělme si tento drát na úseky  $\Delta l$  vzdálené od našeho bodu  $R$ . Ozn.  $\Theta$  úhel mezi drátem a  $\vec{R}$  a  $l$  vzdálenost příslušného úseku  $\Delta l$  od průmětu našeho bodu na drát.

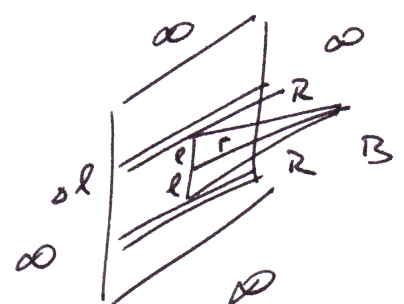
$$|R| = \frac{r}{\sin \Theta} \quad l = \frac{r}{\tan \Theta} \quad dl = \frac{r}{\sin^2 \Theta} d\Theta$$



$$|B| = \frac{\mu_0}{4\pi} I \int_{-\infty}^{+\infty} \frac{|d\vec{l} \times \vec{R}|}{R^3} = \frac{\mu_0 I}{4\pi} \int_0^\pi \frac{\frac{rd\Theta}{\sin^2 \Theta} \frac{r}{\sin \Theta} \sin \Theta}{\frac{r^3}{\sin^3 \Theta}} = \frac{\mu_0 I}{2\pi r}$$

## 6.5 Magnetické pole v okolí nekonečné desky s proudem

Mějme nekonečnou desku (to by člověk potom, co si přečetl nadpis, asi nečekal) kterou protéká proud (další nečekaná věc). Pro výpočet magnetické indukce využijeme výsledek z předchozí kapitolky (to by trochu duchapřítomný čtenář asi čekal). Rozdělíme si tedy naši desku na proužky šířky  $\Delta l$ , na které tento vztah můžeme aplikovat. Těmito proužky protéká proud  $\Delta I$ . Nás zajímá bod ve vzdálenosti  $r$  od desky a  $R$  od příslušného proužku. Ozn.  $\Theta$  úhel mezi  $\vec{R}$  a  $\vec{r}$ ,  $l$  vzdálenost proužku od



kolmého průmětu našeho místa v  $\vec{R}$  na desku a  $\alpha$  měrný proud deskou ( $A \cdot m^{-1}$ ). Budeme počítat  $B$  jako součet působení dvou symetrických proužků.

$$\begin{aligned}\Delta I &= \alpha \Delta l & R &= \frac{r}{\cos \Theta} & l &= r \tan \Theta & dl &= \frac{rd\Theta}{\cos^2 \Theta} \\ \Delta B_{(2\Delta I)} &= 2 \frac{\mu_0 \Delta I}{2\pi R} \cos \Theta = \frac{\mu_0 \alpha \Delta l}{\pi R} \cos \Theta \Big/ \lim_{\Delta l \rightarrow 0} \\ dB &= \frac{\mu_0 \alpha r d\Theta \cos \Theta}{\cos^2 \Theta \pi r} \cos \Theta = \frac{\mu_0 \alpha d\Theta}{\pi} \\ B &= \frac{\mu_0 \alpha}{\pi} \int_0^{\frac{\pi}{2}} d\Theta = \frac{\mu_0 \alpha}{2}\end{aligned}$$

Jak je vidět, tak magnetická indukce nezávisí na vzdálenosti od desky. Chadzi říkal, že je nějak prohodil nebo co, tak jsem je prohodil taky. Snad mi nikde nic neuteklo, ale asi to dává smysl.

## 6.6 Něco, co bych asi označil jako pohybující se kondenzátor

Mějme dvě desky kondenzátoru rovnoběžné s osami  $x$  a  $z$  a pohybující se podél  $x$  rychlostí  $u$  (resp.  $u'$ ).

$$\begin{aligned}S &\quad \alpha = \sigma u & B_z &= \mu_0 \alpha = \mu_0 \sigma u & E_y &= \frac{\sigma}{\varepsilon_0} \\ S' &\quad \alpha' = \sigma' u' = \frac{u - v}{1 - \frac{uv}{c^2}} & B'_z &= \mu_0 \alpha' & E'_y &= \frac{\sigma'}{\varepsilon_0} \\ \sigma_0 &= \sigma \sqrt{1 - \frac{u^2}{c^2}} = \sigma' \sqrt{1 - \frac{u'^2}{c^2}} \\ \sigma' &= \frac{\sigma \sqrt{1 - \frac{u^2}{c^2}}}{\sqrt{1 - \frac{u'^2}{c^2}}} = \sigma \frac{\sqrt{1 - \frac{u^2}{c^2}}}{\sqrt{1 - \frac{(u-v)^2}{(1-\frac{uv}{c^2})^2 c^2}}} = \sigma \frac{1 - \frac{uv}{c^2}}{\sqrt{1 - \frac{v^2}{c^2}}} = \sigma \gamma \left(1 - \frac{uv}{c^2}\right) \\ E'_y &= \frac{\sigma'}{\varepsilon_0} = \frac{\gamma (\sigma - \sigma \frac{uv}{c^2})}{\varepsilon_0} = \gamma (E_y - v B_z) \\ E'_z &= \dots = \gamma (E_z - v B_y) & E'_x &= E_x \\ B'_z &= \mu_0 \sigma' u' = \mu_0 \sigma \gamma \left(1 - \frac{uv}{c^2}\right) \frac{u'}{c} = \mu_0 \sigma \gamma \left(1 - \frac{uv}{c^2}\right) \frac{u - v}{1 - \frac{uv}{c^2}} = \gamma \left(B_z - \frac{v}{c^2} E_y\right) \\ B'_y &= \dots = \gamma \left(B_y - \frac{v}{c^2} E_z\right) & B'_x &= B_x \\ \vec{E}' &= \gamma \left(\vec{E} + \vec{v} \times \vec{B}\right)\end{aligned}$$

$$\vec{B}' = \gamma \left( \vec{B} + \frac{1}{c^2} \vec{v} \times \vec{E} \right)$$

U zkoušky se z toho vyklubala jenom jedna deska. Chadzi u toho navíc prohlásil něco jako, že jestli to vykládal s kondenzátorem, tak to vykládal pěkně blbě.

## 6.7 Invariantní veličiny

$$\begin{aligned} \vec{E} \cdot \vec{B} = \vec{E}' \cdot \vec{B}' &\Rightarrow \vec{E} \perp \vec{B} \Rightarrow \vec{E}' \perp \vec{B}' \\ B'^2 - \frac{1}{c^2} E'^2 = B^2 - \frac{1}{c^2} E^2 &= konst \\ \frac{B'^2}{2\mu_0} - \frac{\epsilon_0 E'^2}{2} = \frac{B^2}{2\mu_0} - \frac{\epsilon_0 E^2}{2} &= konst \end{aligned}$$

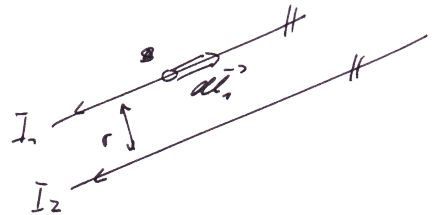
## 6.8 Vzájemné působení dvou vodičů s proudem

Mějme dva rovnoběžné dráty vzájemně vzdálené  $r$ , délky  $l_1$  a  $l_2$  a s průřezem  $S$ , kterými protéká proud. Rozdělme si oba dráty na úseky  $dl_i$ .

$$\Delta F_{12} = \rho \Delta v (\vec{E} + \vec{u} \times \vec{B}_{12}) = I_1 (\Delta l \times \vec{B}_{12})$$

$$|\Delta F_{12}| = I_1 \Delta l_1 \frac{\mu_0}{2\pi r} I_2$$

$$F_{1m} = \frac{\Delta F_{12}}{\Delta l_1} = \frac{\mu_0}{2\pi r} I_1 I_2$$



Na základě této závislosti je definována jednotka Ampér.

$$d\vec{F} = Id\vec{l} \times \vec{B} \quad d\vec{B} = \frac{\mu_0}{4\pi} \frac{d\vec{l} \times d\vec{R}}{R^3}$$

$$\vec{F} = \int_{l_1} \int_{l_2} I_1 I_2 \frac{d\vec{l}_1 \times d\vec{l}_2 \times \vec{R}}{r^3} \frac{\mu_0}{4\pi}$$

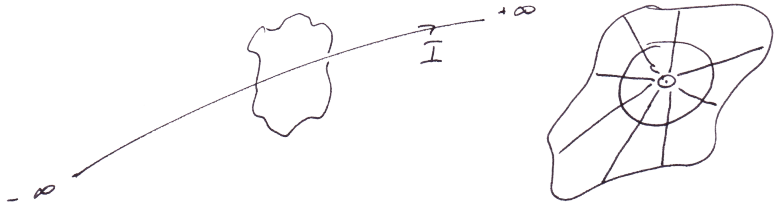
což je konečně Ampérův vzorec.

## 6.9 Ampérův zákon

Jedná se vlastně o ekvivalent Gaussovu zákonu v elektrostatice. Mějme zase nekonečný drát s proudem. Pak na kružnici kolem drátu je

$$B = \frac{\mu_0 I}{2\pi r}$$





což jsme si ukázali dříve. Cirkulace je pak

$$\Gamma = \oint_l \vec{B} d\vec{l} = \frac{\mu_0 I}{2\pi r} \oint_l dl = \mu_0 I$$

Když teď budeme uvažovat různě deformované křivky, můžeme si ji rozdělit na úseky a každý z nich promítnout na kružnici. V případě nahnuté křivky lze místo kružnice použít válec apod<sup>5</sup>. Dostáváme tak z cirkulace pro kružnici cirkulaci pro obecnou křivku.

$$\oint_l \vec{B} d\vec{l} = \sum_i \mu_0 I_i$$

Když budeme mít případ dvou propletených kroužků, mezi kterými prochází vodič s proudem. Pak je cirkulace v obou kroužcích stejná a rovna

$$\begin{aligned} \Gamma_1 &= \oint_{l_1} \vec{B}_{l_\infty} d\vec{l}_1 = \oint_{l_1} \left[ \int_{-\infty}^{+\infty} \frac{\mu_0 I}{4\pi} \frac{d\vec{l}_\infty \times \vec{R}}{R^3} \right] d\vec{l}_1 = \int_{-\infty}^{+\infty} \left[ - \oint_{l_1} \frac{\mu_0 I}{4\pi} \frac{d\vec{l}_1 \times \vec{R}}{R^3} \right] d\vec{l}_\infty \\ \Gamma_2 &= \dots = \int_{-\infty}^{+\infty} \left[ - \oint_{l_2} \frac{\mu_0 I}{4\pi} \frac{d\vec{l}_2 \times \vec{R}}{R^3} \right] d\vec{l}_\infty = \Gamma_1 \end{aligned}$$

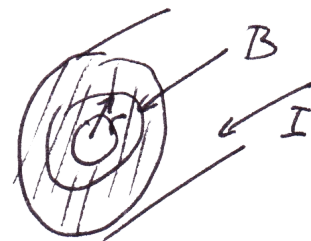
To nám víceméně ukazuje platnost

$$\oint_l \vec{B} d\vec{l} = \sum_i \mu_0 I_i$$

### Trubka s proudem

Mějme trubku, kterou protéká proud. Pak je cirkulace magnetické indukce uvnitř hmoty trubky

$$\Gamma = 2\pi r B$$



### 6.10 Závit v okolí cívky s proudem

<sup>6</sup> Mějme cívku (solenoid), kterou protéká proud. Když jí

<sup>5</sup>Já za to nemůžu. Chadzi to takhle nějak odflák taky (aspoň jsem si nevšiml, že by řekl něco navíc).

<sup>6</sup>Ve skriptech je to prý lépe popsané



proložíme smyčkou (pro lepší představu obdélníkovou) tak, že její dvě hrany cívku procházejí a zbylé dvě leží mimo cívku, pak platí

$$\Gamma = 2lB = 0 \quad B = 0$$

Když budu mít tutéž smyčku, ale do cívky jí umístím tak, že jedna hrana leží uvnitř cívky a druhá mimo cívku, přičemž zbylé dvě hrany vstupují kolmo do cívky. V tomto případě platí

$$\Gamma = NI\mu_0$$

Když budeme mít toroidální cívku (do kruhu) a dovnitř jí vložíme kruhovou smyčku, dostáváme

$$\begin{aligned} 2\pi rB &= \mu_0 NI \\ \oint_l \vec{B} d\vec{l} &= \mu_0 I = \mu_0 \int_S \vec{j} d\vec{S} = \int_S (\nabla \times \vec{B}) d\vec{S} \\ \rightarrow \quad \nabla \times \vec{B} &= \mu_0 \vec{j} \quad 1 \text{ z Maxwellek} \end{aligned}$$

## 6.11 Vektorový potenciál magnetického pole

Shrňme si tedy, co víme

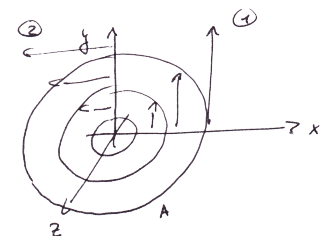
$$\nabla \cdot \vec{B} = 0 \quad \vec{B} = \nabla \times \vec{A} \quad \nabla \times \vec{E} = \vec{0} \quad \nabla \cdot \vec{E} = \frac{\rho}{\epsilon_0}$$

Vzhledem k tomu, že  $\nabla \cdot \vec{B} = 0$ , můžeme nalézt takové  $\vec{A}$  (tj. vektorový potenciál magnetického pole), že platí  $\nabla \times \vec{A} = \vec{B}$ . Pro speciální případy, které jak tak na ně koukám, tak nevím, jak bych popsal, pladí následující

$$\vec{B} \equiv (0; c; B_z)$$

$$\vec{A}_1 \equiv (0; xB_z; 0)$$

$$\vec{A}_2 \equiv (-yB_z; 0; 0)$$



Z všelijakých vztahů...

$$\nabla \times \vec{B} = \nabla \times (\nabla \times \vec{A}) = \mu_0 \vec{j}$$

$$\nabla \times (\nabla \times \vec{A}) = \nabla (\nabla \cdot \vec{A}) - \nabla^2 \cdot \vec{A}$$

$$\vec{A}' = \vec{A} + \vec{A}'' \quad \nabla \cdot \vec{A}' = 0 \quad \nabla \times \vec{A}' = \nabla \times \vec{A} \quad \nabla \times \vec{A}'' = 0$$

...se dá vycucat závěr

$$\Delta \vec{A} = -\mu_0 \vec{j} \quad \sim \quad \Delta \varphi = -\frac{\rho}{\varepsilon_0}$$

$$A_x = \frac{\mu_0}{4\pi} \int_{V'} \frac{j_x}{r} dV'$$

$$A_y = \frac{\mu_0}{4\pi} \int_{V'} \frac{j_y}{r} dV'$$

$$A_z = \frac{\mu_0}{4\pi} \int_{V'} \frac{j_z}{r} dV'$$

$$\varphi = \frac{1}{4\pi\varepsilon_0} \int_{V'} \frac{\rho}{r} dV'$$

Kdežto tedy znamená, že  $\vec{A}$  lze psát ve vektorovém tvaru následovně

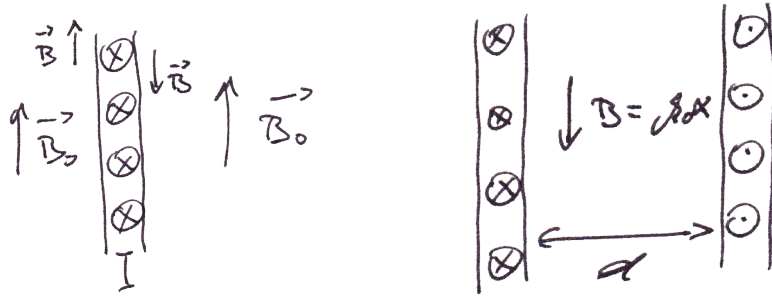
$$\vec{A} = \frac{\mu_0}{4\pi} \int_l \int_S \frac{\vec{j} dS dl}{R} = \frac{\mu_0}{4\pi} I \int_l \frac{d\vec{l}}{R} = \frac{\mu_0}{4\pi} \int_{V'} \frac{\vec{j}}{R} dV'$$

$$\vec{B} = \nabla \times \vec{A} = \frac{\mu_0}{4\pi} I \int_l \frac{d\vec{l} \times \vec{R}}{R^3}$$

### Plošný proud

$$\vec{A} = \frac{\mu_0}{4\pi} \int_S \frac{\vec{\alpha}}{R} dS$$

kde  $\alpha$  je plošná hustota náboje.



Když tedy budeme mít nekonečnou desku (tzn. můžete hledat jak chcete, ale konec prostě nenajdete), kterou protéká proud. Kolmo na směr proudu působí na desku vnější magnetické pole s indukcí  $B_0$ . Na obou stranách desky se vlivem proudu uvnitř desky vytváří vlastní magnetické pole s velikostí  $B = \frac{\alpha\mu_0}{2}$ . Pokud proud poteče směrem od nás a

vnější magnetické pole bude působit směrem nahoru, tak bude výsledná velikost magnetické indukce na pravé a levé straně následující

$$B_P = B_0 - \frac{\mu_0 \alpha}{2} \quad B_L = B_0 + \frac{\mu_0 \alpha}{2}$$

Výsledný tlak působící na desku je pak

$$p = \frac{F}{S} = \frac{I(\Delta \vec{l} \times \vec{B}_0)}{\Delta S} = \frac{\alpha L \Delta l B_0}{\Delta S} = \alpha B_0$$

kde  $\Delta S = L \Delta l$

$$p = \frac{1}{\mu_0} (B_L - B_P) \frac{B_P + B_L}{2} = \frac{B_L^2 - B_P^2}{2\mu_0} = \frac{B^2}{2\mu_0}$$

Mějme takovéto desky dvě, a to ve vzdálenosti  $d$  a indukce vzniklá vlivem proudu je  $B = \mu_0 \alpha$ . Energii ( $W$ ) a hustotu energie ( $w$ ) si pak můžeme vyjádřit následovně

$$W = Fd \quad w = \frac{W}{V} = \frac{Fd}{Sd} = p$$

Celková hustota energie elektromagnetického pole je

$$w = \left( \frac{\varepsilon_0 E^2}{2} + \frac{B^2}{2\mu_0} \right)$$

Z hustoty energie magnetického pole lze multipólovým rozvojem (poměrně bubák) dostat vztah pro dipól.

## 6.12 Magnetický dipólový moment

Mějme kruhovou smyčku v rovině  $xy$  se středem v počátku soustavy souřadnic, hustotou proudu  $j$  a poloměrem  $r'$ . Dejme tomu, že nás zajímá nějaký bod  $\vec{r} \equiv (0; y; z)$  (prý se tam něco pozere, a i kdyby ne, tak si soustavu můžeme vhodně natočit). Ozn.  $\vec{R} = \vec{r} - \vec{r}'$

$$A_x = \frac{\mu_0}{4\pi} \int_{V'} \frac{j_x}{R} dV' = \frac{\mu_0}{4\pi} I \int_{V'} \frac{dx'}{R}$$

Mějme  $r \gg r'$ , pak můžeme zanedbat rozdíly mezi různě velkými  $r$ .

$$R = r - r' \sin \Theta \quad \frac{j}{dl} = \frac{j_x}{dx'} \quad \oint dx' = 0$$

$$\frac{1}{R} \approx \frac{1}{r} \left( 1 + \frac{y' \sin \Theta}{r} \right)$$

$$A_x \approx \frac{\mu_0}{4\pi} I \oint \frac{\sin \Theta}{r^2} y' dx' = \frac{\mu_0 I \sin \Theta}{4\pi} \frac{S}{r^2} = \left( \frac{\mu_0 I}{4\pi} \frac{\vec{S} \times \vec{r}}{r^3} \right)_x = \left( \frac{\mu_0 \vec{m} \times \vec{r}}{4\pi r^3} \right)_x$$

kde  $\vec{m} = I\vec{S}$  je magnetický dipólový moment. Pro srovnání vektorového potenciálu magnetického pole a skalárního potenciálu elektrického pole

$$\vec{A} = \frac{\mu_0}{4\pi} \frac{\vec{m} \times \vec{R}}{r^3} \quad \varphi = \frac{1}{4\pi\epsilon_0} \frac{\vec{p} \cdot \vec{r}}{r^3}$$

$$\vec{B} = \nabla \times \vec{A} = -\frac{\mu_0}{4\pi} \nabla \times \left( \vec{m} \times \nabla \frac{1}{R} \right)$$

### Síla působící na dipól

Mějme kroužek tloušťky  $\Delta z$  v kolmý na osu  $z$  v nehomogenním magnetickém poli. Kroužkem protéká proud  $I$ , takže tvoří magnetický dipól. Divergence magnetické indukce je tak nulová. Síla působící na dipól je

$$F = B_r I 2\pi r$$

Tok  $F$  plochou kroužku  $\Phi_r$  a ploch ohraničených jeho horní  $\Phi_+$  a dolní  $\Phi_-$  délhou kroužku je

$$0 = \Phi = \Phi_r + \Phi_+ + \Phi_-$$

$$\Phi_+ + \Phi_- = [B_z(z + \Delta z) - B_z(z)] \pi r^2 = \pi r^2 \frac{\partial B_z}{\partial z} \Delta z = -\Phi_r = 2\pi r \Delta z B_r$$

$$B_r = -\frac{r}{2} \frac{\partial B_z}{\partial z} \quad |F_z| = 2\pi r I \frac{r}{2} \frac{\partial B_z}{\partial z} = \pi r^2 I \frac{\partial B_z}{\partial z} \quad \vec{F} = (\vec{m} \nabla) \vec{B}$$

### 6.13 Homogenní magnetické pole

Mějme závit v homogenním magnetickém poli. Pokud jím poteče proud, pak ho magnetické síly budou stáčet tak, aby byla rovina závitu kolmá na magnetické pole, které ji vytváralo. Takže, pokud budeme mít obdélníkovou smyčku (aby se to lépe počítalo) o stranách  $b$ , skloněnou pod úhlem  $\alpha$ , a  $l$ , platí

$$N = IlBb \sin \alpha = |\vec{m} \times \vec{B}| \quad W = \int N d\alpha = -\vec{m} \cdot \vec{B}$$

Když si vezmu libovolnou smyčku, tak ji můžu libovolně naporcovat na obdélníky. Tento vztah tak lze aplikovat pro libovolnou smyčku.

### 6.14 Vektor magnetizace

Jedná se o hustotu magnetických dipólových momentů v daném bodě.

$$\vec{M} = N\vec{m}$$

Když budeme mít opět magnetizovanou hroudu čehosi s objemem  $V'$ , bod  $\vec{r}'$  v rámci oné hroudy, bod  $\vec{r}$  ve kterém nás zajímá potenciál a  $R$  vzdálenost obou bodů, pak

$$\begin{aligned}\vec{A}(\vec{r}) &= \frac{\mu_0}{4\pi} \int_{V'} \frac{\vec{M}(\vec{r}') \times \vec{R}}{R^3} dV' \\ \vec{R} &= \vec{r} - \vec{r}' \\ \left( \nabla' \times \left( \frac{\vec{M}}{R} \right) \right)_x &= \left( \frac{\partial}{\partial y'} \frac{M_z}{R} - \frac{\partial}{\partial z'} \frac{M_y}{R} \right) = \frac{1}{R} \left( \frac{\partial M_z}{\partial y'} - \frac{\partial M_y}{\partial z'} \right) + \left( M_z \frac{y - y'}{R^3} - M_y \frac{z - z'}{R^3} \right) \\ \vec{A}(\vec{r}) &= \frac{\mu_0}{4\pi} \left[ - \int_{V'} \nabla' \times \left( \frac{\vec{M}}{R} \right) dV' + \int_{V'} \frac{\nabla' \times \vec{M}(\vec{r}')}{R} dV' \right] = \\ &= \frac{\mu_0}{4\pi} \left[ \oint_{S'} \frac{\vec{M}(\vec{r}') \times d\vec{S}'}{R} + \int_{V'} \frac{\nabla' \times \vec{M}(\vec{r}')}{R} dV' \right] = \\ &= \frac{\mu_0}{4\pi} \left[ \oint_{S'} \frac{\alpha_m(\vec{r}') dS'}{R} + \int_{V'} \frac{j_m(\vec{r}')}{R} dV' \right]\end{aligned}$$

kde  $j_m$  je (pomocný) magnetizační proud.

$$\vec{j}_m = \nabla \times \vec{M} \quad \vec{j} = \vec{j}_v + \vec{j}_m + \vec{j}_p + \vec{j}_M$$

kde  $\vec{j}_v$  je volný proud,  $\vec{j}_p$  polarizační proud a  $\vec{j}_M$  Maxwellův proud.

## 6.15 Pohyb nabité částice v magnetickém poli

viz skripta

## 6.16 Kvazistacionární pole

$$\begin{aligned}\nabla \times \vec{B} &= \mu_0 \vec{j} \\ \nabla \cdot (\nabla \times \vec{B}) &= 0 = \nabla \cdot \vec{j} = -\frac{d\varphi}{dt}\end{aligned}$$

toto bylo podnětem k zavedení Maxwellova proudu. Mějme rovný vodič a smyčku v rovině  $xy$ , kolmo na homogenní magnetické pole, pohybující se rychlostí  $v$  ve směru  $y$ .

$$F_L = qvB = qE \quad E = qB$$

$$U = \int_l \vec{E} d\vec{l} = lvB$$

V případě, že magnetické pole je nehomogenní, se vytvoří rozdíl potenciálu, který vybudí elektrický proud tekoucí smyčkou.

$$E_1 = vB_1 \quad E_2 = vB_2 \quad v = \frac{\Delta y}{\Delta t}$$

$$\varepsilon^{mn} = \oint_l \vec{E} d\vec{l} = (E_2 - E_1)l = -v(B_2 - B_1)l = -\frac{B_2 \Delta y l - B_1 \Delta y l}{\Delta t} = -\frac{B_2 \Delta S - B_1 \Delta S}{\Delta t} = -\frac{\Delta \Phi}{\Delta t}$$

$$\oint_l \vec{E} d\vec{l} = -\frac{\Delta \Phi}{\Delta t} \quad \Phi = \oint_S \vec{B} d\vec{S} \quad \int_S \nabla \times \vec{E} d\vec{S} \quad \nabla \times \vec{E} = -\frac{\partial \vec{B}}{\partial t}$$

Indukčnost

$$L = \frac{\Phi}{I}$$

## 6.17 RLC obvody, impedance, přechodové jevy...

Samostudium...

viz skripta (někde okolo strany 200) a internet (za sebe bych asi doporučil MEF, na Ečko to určitě stačí, a s nejvyšší pravděpodobností by se z toho dalo naučit i na C)

## Slovo závěrem

Ve skriptech jsou některé části mnohem lépe ztvárněny, než to zvládl Chadzi (kdo chodil na přednášky, tak se tomu skoro asi ani nediví). Sice to nedokážu objektivně posoudit, protože jsem se z nich skoro neučil, ale pevně tomu věřím.

A téhle věty si važte nejvíce, protože je úplně poslední. ☺

Všem čtenářům přeji veleúžasnou zkoušku, jako jsem měl já. Tahle věta byla ale opravdu poslední, alespoň za předpokladu, že už nepočítám tuhle, některé potenciální bonusové materiály a tu, která by se mohla někdy v budoucnu objevit za ní (se závěrečnou úvahou statí na téma „*Poslední věta: Jak moc si jí vážit?*“ zatím nepočítám, ale nevylučuji, že se někdy budu nudit).

PS: Mám rád (nejen) oříškovou čokoládu

Transforme silg ( $\rightarrow$  Coulombic oil  $\rightarrow$  magnetic pole)  
Elast interita

$$\begin{aligned}
F' &= \frac{\bar{F} + \bar{N}^1 \left[ (\beta-1) \frac{\bar{F} \cdot \bar{N}}{\bar{N}^2} - \frac{\bar{N}^1}{\bar{C}^2} (\bar{F} \cdot \bar{N}) \right]}{\gamma \left( 1 - \frac{\bar{N} \cdot \bar{N}}{\bar{C}^2} \right)} \\
F &= \frac{\bar{F}' + \bar{N}^1 \left( \beta-1 \right) \frac{\bar{F} \cdot \bar{N}}{\bar{N}^2} + \frac{\bar{N}^1}{\bar{C}^2} (\bar{F} \cdot \bar{N}) \cdot \bar{N}}{\bar{F}' + \bar{N}^1 (\beta-1) \frac{\bar{F} \cdot \bar{N}}{\bar{N}^2}} \\
&= \frac{\beta \left( 1 + \frac{\bar{N}}{\bar{C}^2} \right)}{\bar{F}' + \bar{N}^1 \left( \beta-1 \right) \left( \bar{F}' + \bar{N}^1 (\beta-1) \frac{\bar{F} \cdot \bar{N}}{\bar{N}^2} \right) + \beta \left( \bar{F}' \left( \bar{N} + \bar{N}^1 \left[ (\beta-1) \frac{\bar{N} \cdot \bar{N}}{\bar{N}^2} - \bar{N} \right] \right) \frac{\bar{N}}{\bar{C}^2} \right)} \\
&= \beta \left( \bar{C}^2 - \bar{N} \cdot \bar{N} \right) \left( \bar{F}' + \bar{N}^1 \left( \beta-1 \right) \frac{\bar{F} \cdot \bar{N}}{\bar{N}^2} \right) + \beta \left( \bar{F}' \left( \bar{N} + \bar{N}^1 \left[ (\beta-1) \frac{\bar{N} \cdot \bar{N}}{\bar{N}^2} - \bar{N} \right] \right) \frac{\bar{N}}{\bar{C}^2} \right) \\
&= \beta \left( \bar{C}^2 - \bar{N} \cdot \bar{N} \right) + \beta \left( \bar{N}^1 \left( \bar{N} + \bar{N}^1 \left[ (\beta-1) \frac{\bar{N} \cdot \bar{N}}{\bar{N}^2} - \bar{N} \right] \right) \frac{\bar{N}}{\bar{C}^2} \right) \\
&\quad \cancel{\beta \left( \bar{F}' + \bar{C}^2 \left( \beta-1 \right) \frac{\bar{F} \cdot \bar{N}}{\bar{N}^2} - \bar{N} \cdot \bar{N} \right) \bar{F} - \left( \beta-1 \right) \frac{\bar{F} \cdot \bar{N}}{\bar{N}^2} \cdot \bar{N} + \left( \bar{F}' \cdot \bar{N} \right) \bar{N} + \left( \beta-1 \right) \frac{\bar{N} \cdot \bar{N}}{\bar{N}^2} \cdot \bar{N}^1 - \bar{N} \left( \bar{F}' \cdot \bar{N} \right) \bar{N}} \\
&\quad \cancel{\beta \left( \bar{C}^2 - \bar{N} \cdot \bar{N} \right) + \bar{N}^1 \cdot \bar{N} + \bar{N}^1 \cdot \bar{N}^1 + \bar{N}^1 \cdot \bar{N}^1 \cdot \bar{N}^1 + \bar{N}^1 \cdot \bar{N}^1 \cdot \bar{N}^1 \cdot \bar{N}^1} \\
&= \cancel{\beta \left( \bar{F}' + \bar{C}^2 \beta \left( \frac{\bar{F} \cdot \bar{N}}{\bar{N}^2} \right) \bar{N} - \bar{N} \cdot \bar{N} \right) \bar{F}' - \beta \left( \frac{\bar{F} \cdot \bar{N}}{\bar{N}^2} \right) \bar{N}^1 - \bar{N} \cdot \bar{N}^1} \\
&\quad \cancel{\beta \left( \bar{F}' - \bar{N} \cdot \bar{N} \right) + \bar{N}^1 \cdot \bar{N} + \bar{N}^1 \cdot \bar{N}^1 + \bar{N}^1 \cdot \bar{N}^1 \cdot \bar{N}^1 - \bar{N} \cdot \bar{N}^1} \\
&= \cancel{\beta \left( \bar{F}' + \bar{C}^2 \beta \left( \frac{\bar{F} \cdot \bar{N}}{\bar{N}^2} \right) \bar{N} - \left( \bar{N} \cdot \bar{N} \right) \frac{\bar{F}'}{\bar{C}^2} - \left( \bar{N} \cdot \bar{N} \right) \frac{\bar{F} \cdot \bar{N}}{\bar{N}^2} \cdot \bar{N}^1 - \beta \left( \frac{\bar{F} \cdot \bar{N}}{\bar{N}^2} \right) \bar{N}^1 - \beta \left( \frac{\bar{F} \cdot \bar{N}}{\bar{N}^2} \right) \bar{N}^1 \cdot \bar{N}^1} \\
&= \cancel{\beta \left( \bar{F}' + \left( \beta-1 \right) \frac{\bar{F} \cdot \bar{N}}{\bar{N}^2} \bar{N}^1 - \left( \bar{N} \cdot \bar{N} \right) \frac{\bar{F}'}{\bar{C}^2} - \left( \bar{N} \cdot \bar{N} \right) \frac{\bar{F} \cdot \bar{N}}{\bar{N}^2} \cdot \bar{N}^1 - \beta \left( \frac{\bar{F} \cdot \bar{N}}{\bar{N}^2} \right) \bar{N}^1 - \beta \left( \frac{\bar{F} \cdot \bar{N}}{\bar{N}^2} \right) \bar{N}^1 \cdot \bar{N}^1} \\
&= \beta \left( \left( \bar{F}' \right)' + \beta^2 \left( \frac{\bar{F}' \cdot \bar{N}}{\bar{N}^2} \right) \bar{N}^1 - \beta^2 \left( \frac{\bar{F}' \cdot \bar{N}}{\bar{N}^2} \right) \bar{N}^1 \cdot \bar{N}^1 + \frac{\bar{N}^1 \cdot \bar{N}^1}{\bar{C}^2} \left( \bar{N} \times \left( \bar{N} \times \bar{F}' \right) \right) \right) \\
&= \beta \left( \bar{F}' + \left( 1-\beta \right) \frac{\bar{F} \cdot \bar{N}}{\bar{N}^2} \bar{N}^1 + \frac{\bar{N}^1}{\bar{C}^2} \left( \bar{N} \times \left( \bar{N} \times \bar{F}' \right) \right) \right)
\end{aligned}$$

$\textcircled{2}/\textcircled{2} F \rightarrow \text{coulob. sila} \rightarrow \text{Mag. pole}$

$$\overline{F}^{\alpha 1} = \frac{2}{r^3} \frac{\vec{r}}{r^1} \quad (t' = \gamma(t - \frac{r^1 \vec{v}}{c^2}) - \text{referenzzeit}, \vec{v}_0: \text{aus null})$$

$$\overline{F}^1 = \frac{1}{r^0} \left[ \frac{1}{r^2} \left( \vec{v} \cdot \vec{r} \right) - \gamma t \right]$$

$$+ \frac{1}{r^1} \left( \vec{v} \times \left( \frac{1}{r^2} \times \vec{r} \right) \right)$$

$$+ \frac{1}{r^2} \left( \vec{v} \times \left( \frac{1}{r^1} \times \vec{r} \right) \right)$$

$$+ \frac{1}{r^3} \left( \vec{v} \times \left( \frac{1}{r^0} \times \vec{r} \right) \right)$$

$$= * \quad \textcircled{2}$$

$$= * \quad \textcircled{2}$$

$$= * \quad \textcircled{2}$$

$$= 0$$

$$= \gamma \vec{r}$$

$\textcircled{1} \text{ zu a. take } 0$

$$= \frac{2}{r^3} \gamma \left[ \vec{v} + \frac{1}{c^2} \left( \vec{v} \times (\vec{r} \times \vec{r}) \right) \right]$$

$$= \frac{2}{r^3} \gamma \left[ \vec{v} + \frac{1}{c^2} \left( \vec{v} \times (\vec{r} \times \vec{r}) \right) \right]$$

$$= \frac{2}{r^3} \gamma \left[ \vec{v} + \frac{1}{c^2} \left( \vec{v} \times (\vec{r} \times \vec{r}) \right) \right]$$